

ՀԱՅԿԱԿԱՆ ՍՍՀ  
ԳԻՏՈՒԹՅՈՒՆՆԵՐԻ ԱԿԱԴԵՄԻԱՅԻ

# ՏԵԴԵԿԱԳԻՐ ИЗВЕСТИЯ

АКАДЕМИИ НАУК АРМЯНСКОЙ ССР

ՏԵԽՆԻԿԱԿԱՆ ԳԻՏՈՒԹՅՈՒՆՆԵՐԻ ՍԵՐԻԱ  
СЕРИЯ ТЕХНИЧЕСКИХ НАУК

ԽՐԱԳՐԱԿԱՆ ԿՈՒՓԻԱՔ՝

Կասյան Մ. Վ. (պատ. խմբագիր), Աղսեզ Զ. Տ. (պատ. խմբագրի տեղակալ), Արևեսևկի Վ. Վ.,  
Սեանյան Ա. Կ., Գոգոյան Տ. Ա., Կղիուզարյան Ի. Վ., Զադոյան Մ. Ա., Նազարով Ա. Գ., Տեր-  
Ազատե Ի. Ա., Փինաջյան Վ. Վ. (պատ. խմբագրի տեղակալ)  
Պատասխանատու քարտուղար Ստեփանյան Զ. Կ.

РЕДАКЦИОННАЯ КОЛЛЕГИЯ

Касьян М. В. (ответ редактор), Агсез З. Т. (зам ответ. редактора), Алексеевский  
В. В., Ананян А. К., Гороян Т. А., Егизаров И. В., Задоян М. А., Назаров А. Г.,  
Пинаджян В. В. (зам. ответ редактора), Тер-Азарьев И. А.  
Ответственный секретарь Степанян З. К.

Խմբագրության հասցեն՝ Երևան, Բարեկամության, 24  
Адрес редакции Ереван, Барикамунтя, 24

МАШИНОСТРОЕНИЕ

М. В. КАСЬЯН, В. А. СИПАЙЛОВ, Р. С. АМБАРЯН

ТЕМПЕРАТУРА, ВОЗНИКАЮЩАЯ ПРИ ШЛИФОВАНИИ  
ПРЕРЫВИСТЫМ КРУГОМ

Шлифование металлов характеризуется быстро изменяющимися силами резания и температуры. Это приводит к нагреву зоны контакта круга с деталью до температур, обычно превышающих температуру фазовых и структурных превращений. При этих условиях поверхностный слой детали претерпевает нежелательные изменения, из-за чего его качество не обеспечивает заданной надежности сопряжения тел.

Для улучшения качества поверхностного слоя необходимо регулировать температуру при шлифовании и эффективно снижать ее. Низкие температуры шлифования особо важны для вольфрамо-молибденовых сталей, титановых, магниевых, алюминиевых сплавов и прочих новых материалов, чувствительных к тепловым импульсам. Охлаждение, применяемое при шлифовании, понижая теплосодержание детали в целом, не является эффективным методом понижения температуры в зоне шлифования.

Прерывистое шлифование [1] при правильно рассчитанных параметрах круга может служить эффективным методом понижения температуры с одновременным понижением усилий резания. Однако прерывистость контакта шлифовального круга с деталью приводит к вибрациям шпинделя станка и самого круга, что, являясь причиной образования волнистостей на поверхности, приводит к усиленному износу опорных подшипников шпинделя и неустойчивому процессу шлифования.

Наши исследования показывают, что возможны конструкции кругов, которые, сохраняя прерывистость обработки, обеспечивают равномерность контакта. Развертка рабочего профиля одного из таких кругов приведена на рис. 1. При таком рабочем профиле круга протяженности боковых режущих кромок в некоторых случаях могут быть несколько увеличенными и тепловое насыщение успевает происходить. По этой причине теоретические основы прерывистого шлифования, изложенные в [1], область применения которых ограничена периодом теплового насыщения, должны быть расширены до более общего случая. Для расчета таких кругов необходимо более полное исследование нестационарного температурного поля и исследование температурного поля от полосоного источника, ориентированного под углом к направлению движения.

Рассмотрим нестационарный режим работы круга и возникающее при этом температурное поле на его боковой части. Процесс схематизируем следующим образом. По поверхности полубесконечного тела в положительном направлении оси  $z$  (рис. 2) движется длинный поло-



Рис. 1. Развертка рабочего профиля прерывистого круга.

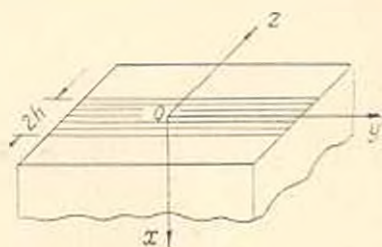


Рис. 2. Расчетная схема подвижного поверхностно-полосового источника.

ной источник тепла шириной  $2h$ . Полагаем, что поверхность  $x = 0$  не пропускает тепла. Начало системы координат поместим в центре полосы, связанной с источником. Математическая формулировка задачи, соответствующей принятым условиям, может быть записана следующим образом. Требуется решить дифференциальное уравнение

$$\frac{\partial T}{\partial t} = a \left( \frac{\partial^2 T}{\partial x^2} + \frac{\partial^2 T}{\partial z^2} \right) + v \frac{\partial T}{\partial z} \quad (1)$$

(где  $a$  — температуропроводность,  $v$  — скорость источника,  $T$  — температура) при краевых условиях:

$$\left. \begin{aligned} \lambda \frac{\partial T}{\partial x} \Big|_{x=0} + q = 0, \quad T|_{t=0} = 0, \\ T|_{x \rightarrow \infty} = 0, \quad \frac{\partial T}{\partial x} \Big|_{x \rightarrow \infty} = 0 \end{aligned} \right\} \quad (2)$$

где  $\lambda$  — теплопроводность;  $q$  — плотность теплового потока. Эта задача наиболее наглядно и просто решается методом источников, т. е. реальный источник тепла представляется как сумма бесконечного числа элементарных (точечных) источников тепла, действие которых описывается функцией

$$T(x, y, z, x', y', z', t, t') = \frac{Q}{C\gamma [4a(t-t')]^{3/2}} \exp \left[ -\frac{(x-x')^2 + (y-y')^2 + (z-z')^2}{4a(t-t')} \right] \quad (3)$$

где  $Q$  — количество тепла, мгновенно выделившегося в точке с координатами  $x', y', z'$ ;  $C$  — удельная теплоемкость;  $\gamma$  — плотность среды.

В результате движения источника координата  $z'$  непрерывно меняется на величину  $v(t-t')$  и решение задачи может быть представлено в виде интеграла:

$$T = \int_{-h}^{+h} dz' \int_{-\infty}^{+\infty} dy' \int_0^t \frac{2q dt'}{C_T [4\pi a(t-t')]^{3/2}} \exp \left\{ -\frac{x^2 + (y-y')^2 + [z-z' + v(t-t')]^2}{4a(t-t')} \right\}. \quad (4)$$

Интегрируя по  $y'$ , получим:

$$T = \frac{q}{2\pi i} \int_{-h}^{+h} dz' \int_0^t \frac{dt'}{t-t'} \exp \left\{ -\frac{x^2 + [z-z' + v(t-t')]^2}{4a(t-t')} \right\}. \quad (5)$$

Ограничиваясь рассмотрением температуры на поверхности металла ( $x=0$ ), получим:

$$T = \frac{q}{2\pi i} \int_{-h}^{+h} dz' \int_0^t \frac{dt'}{t-t'} \exp \left\{ -\left[ \frac{(z-z')^2}{4a(t-t')} + \frac{v}{2a}(z-z') + \frac{v^2}{4a}(t-t') \right] \right\}. \quad (6)$$

Введем обозначения:

$$\frac{v^2}{4a}(t-t') = \xi; \quad -\frac{v^2}{4a} dt' = d\xi.$$

Тогда

$$T = \frac{q}{2\pi i} \int_{-h}^{+h} dz' \int_0^{v(t-h)/4a} \frac{d\xi}{\xi} \exp \left\{ -\left[ \frac{v(z-z')}{4a\sqrt{\xi}} + \sqrt{\xi} \right]^2 \right\}. \quad (7)$$

Заменяя  $\frac{v(z-z')}{2a} = \eta$  и  $-\frac{v dz'}{2a} = d\eta$ , получим:

$$T = \frac{qa}{\pi i v} \int_{v(z-h)/2a}^{v(z-h)/2a} d\eta \int_0^{v(t-h)/4a} \frac{d\xi}{\xi} \exp \left[ -\left( \frac{\eta}{2\sqrt{\xi}} + \sqrt{\xi} \right)^2 \right]. \quad (8)$$

Далее, обозначая:

$$\frac{\eta}{2\sqrt{\xi}} + \sqrt{\xi} = u; \quad \frac{d\eta}{2\sqrt{\xi}} = du; \quad \frac{vz}{2a} = Z; \quad v h = H,$$

будем иметь:

$$T = \frac{2qa}{\pi i v} \int_{(Z-H)/2\sqrt{\xi}}^{(Z+H)/2\sqrt{\xi}} du \int_0^{v(t-h)/4a} \frac{d\xi}{\sqrt{\xi}} \exp(-u^2). \quad (9)$$

Представляя выражение (9) через интеграл вероятности, окончательно получим:

$$T = \frac{2qa}{\pi \lambda v} \int_0^{v^2 t / 4a} \frac{\sqrt{\pi}}{2} \left| \operatorname{erf} \left( \frac{Z + H + \xi}{2\sqrt{\xi}} \right) - \operatorname{erf} \left( \frac{Z - H + \xi}{2\sqrt{\xi}} \right) \right| \frac{d\xi}{\sqrt{\xi}}. \quad (10)$$

Выражение (10) представляет собой температурное поле подвижного полосового источника, который двигался по поверхности полубесконечного тела в течение времени  $t$ . Если  $t$  достаточно велико ( $t \rightarrow \infty$ ), то выражение (10) будет представлять известное стационарное температурное поле, которое реализуется при обычном шлифовании. Отметим, что выражение (10) является точным решением поставленной задачи, которое получено без каких-либо ограничений в области применения.

Рассмотрим характер зависимости относительной температуры  $\Theta = \pi \lambda v T / 2qa$  от комплекса  $v^2 t / 4a$  (произведение квадрата Пекле), пропорционального времени. Для определенности рассмотрим изменение температуры в зависимости от времени в области ее максимальных значений, т. е. на задней кромке источника ( $Z = -H$ ).

Тогда выражение (10) можно представить в виде:

$$\Theta = \frac{\sqrt{\pi}}{2} \int_0^{v^2 t / 4a} \left| \operatorname{erf} \left( \frac{\sqrt{\xi}}{2} \right) - \operatorname{erf} \left( \frac{\xi - 2H}{2\sqrt{\xi}} \right) \right| \frac{d\xi}{\sqrt{\xi}}. \quad (11)$$

Зависимость  $\Theta$  от  $v^2 t / 4a$  представлена на рис. 3, она имеет характер насыщения. В любом случае с течением времени температура на зад-

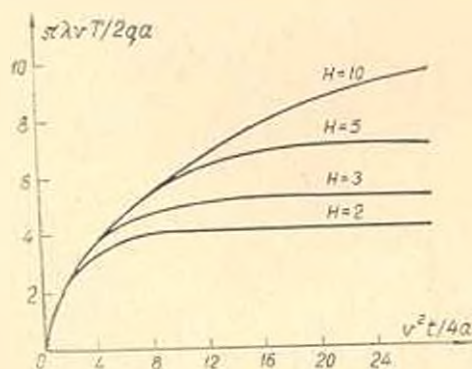


Рис. 3 Зависимость относительной температуры от комплекса, пропорционального времени

ней кромке источника стремится к некоторому пределу, характерному для данной относительной полуширины источника.

Для расчета температурного поля в центральной части круга с волнообразной режущей кромкой необходимо учесть лишь протяженность режущей кромки в направлении скорости круга. Наклонное по-

ложение режущего выступа в данном случае не окажет влияния на тепловой расчет, т. к. длина дуги контакта круга с деталью намного меньше, чем размер наклонной перемычки. Максимальные значения температуры будут определяться длиной режущей кромки между точками *A* и *B* (рис. 1).

Произведем оценку этой температуры для конкретного режима шлифования. Круг ЭБ25СМ2К, диаметр 250 мм,  $t = 0,05$  мм,  $v_c = 12$  м/мин  $= 20 \cdot 10^{-3}$  м/сек,  $n = 2700$  об/мин. Материал — сталь 12Х2Н4А ( $R_c = 56 - 62$ ),  $a = 0,04$ . При этих условиях:  $H = \frac{v_c}{2a} = \frac{20 \cdot 0,14}{2 \cdot 0,04} = 35$ ;

максимальное значение относительной температуры на задней кромке источника  $\Theta = 19,8$ . Если наложить условие необходимости снижения относительной температуры на 50%, то как видно из графика (рис. 3), этому требованию удовлетворяет приблизительное значение комплекса, пропорционального времени, равное 24. Из этих условий можно определить время достижения этой температуры:

$$\frac{v_c t}{4a} = 24; \quad t = \frac{4 \cdot 0,04 \cdot 24}{400} \approx 0,96 \cdot 10^{-3} \text{ сек.}$$

Это время достаточно велико и наложенному условию будет соответствовать большой класс кругов, выполненных по предложенной схеме. Так, например, если при рассмотренной схеме и режиме шлифования взять сплошной круг, то, как показывают расчеты и эксперименты многих авторов, температура на задней кромке источника будет порядка 1500°. Если же круг выполнить по предложенной схеме и протяженностью выступов по *AB* (рис. 1), скажем 100 мм, то, очевидно, время работы такого круга, определенное из условия (1)  $t = t \pi D n$ , будет равно  $t = \frac{10}{\pi \cdot 25 \cdot 45} \approx 3 \cdot 10^{-3}$  сек, а комплекс  $\frac{v_c t}{4a}$  получит значение

7,5, при котором  $\Theta = 5,3$ , т. е. в 3,7 раза ниже температуры насыщения, развиваемой сплошным кругом. Для рассмотренного режима эта температура будет равна 400°, что является вполне безопасной в смысле образования прижогов, микротрещин и т. п.

### В ы в о д ы

1. При прерывистом шлифовании температура в зоне контакта круга с деталью на 30 — 50% ниже по сравнению со сплошным шлифованием, что объясняется, в основном, прерывистым процессом резания.

2. Прерывистое шлифование дает значительное улучшение качества поверхностного слоя за счет понижения температуры. При низких температурах структурные изменения (незначительный отпуск) распространяются приблизительно на глубину 35 — 50 мкм взамен 270 мкм при шлифовании сплошными кругами, что приводит к пониже-

нию микротвердости, фазовым и структурным превращениям обрабатываемого материала.

3. Предложенный вариант прерывистого круга позволяет сэкономить абразивный материал.

Մ. Վ. ԿԱՍՅԱՆ, Վ. Ա. ՍԻՊԱՅԼՈՎ, Խ. Ս. ԶՈՐԵՄԵՅԱՆ

### ՐԵԻԶՍՏՈՆԻ ՍԿԱՎԱՌԱԿՈՎ ԸՂԿԵԼԻՍ ԱՌԱՋԱՑՈՂ ՋԵՐՄԱՍԻՃԱՆՈՒ

Ա Վ Վ Ի Ս Վ Ս Ի Վ

Հորվածում քննարկվում է հղկոսկրավառակի աշխատանքի ոչ-ստատիստիկական ռեժիմը և դրա ժամանակ սկավառակի կողմնային մասում առաջացող ջերմաստիճանային դաշտը: Յուրյ է արված, որ տներնդհատ հղկման համեմատությամբ ընդհատուն հղկման ժամանակ սկավառակի և ղեռալի կոնտակտի զոնայում ջերմաստիճանը 30-50%<sub>100</sub> ցած է: Հետևություն է արված, որ ընդհատուն հղկումը պայտիսեն բարելավում է մակերևութային շերտի որակը՝ ի հաշիվ ջերմաստիճանի իջեցման: Առաջարկվում է ընդհատուն սկավառակի տարրերակ, որն քննենում է հղկանյութի տնտեսիկ հնարավորություն:

### Л И Т Е Р А Т У Р А

1. Сипайлов В. А., Якимов А. В. Расчет размеров рекущих прерывчех круга при прерывистом шлифовании.
2. Якимов А. В., Сипайлов В. А., Потемкин В. И., Яковлев Г. С., Бояршинов Ю. А., Екимов С. К. Прерывистое шлифование. «Вестник машиностроения», № 3, 1967.
3. Лыков А. В. Теория теплопроводности, Гостехиздат, 1952.

Г. Т. АДОНЦ

УРАВНЕНИЯ УСТАНОВИВШЕГОСЯ РЕЖИМА ЛИНИИ  
 С РАСПРЕДЕЛЕННЫМИ ПАРАМЕТРАМИ

В электроэнергетике продолжается рост числа дальних линий электропередач напряжением 500 кВ. Ведутся большие работы по созданию сверхдальних электропередач на еще более высокие напряжения, предназначенных для обеспечения магистральных связей между отдельными энергосистемами. В этой связи возникает необходимость разработки методов расчета установившихся режимов электроэнергетических систем и их объединений, в которых дальние и сверхдальние линии электропередачи представляются параметрами, распределенными по линии.

Целью данной статьи является вывод уравнений установившегося режима линии с распределенными параметрами и форме, соответствующей задачам расчета установившихся режимов электроэнергетических систем, содержащих длинные линии.

В качестве исходных примем следующие выражения связи между комплексными напряжениями ( $\dot{U}_x$ ) и токами ( $\dot{I}_x$ ) в любой точке линии с распределенными параметрами через напряжение ( $\dot{U}_l$ ) и ток ( $\dot{I}_l$ ) в конце линии [1]:

$$\dot{U}_x = \dot{U}_l \operatorname{ch} \gamma (l - x) + \frac{1}{Y_0} \dot{I}_l \operatorname{sh} \gamma (l - x);$$

$$\dot{I}_x = \dot{U}_l Y_0 \operatorname{sh} \gamma (l - x) + \dot{I}_l \operatorname{ch} \gamma (l - x), \quad (a)$$

где

$l$  — длина линии;

$x$  — расстояние от начала линии до произвольной ее точки;

$$Y_0 = \sqrt{\frac{g + j\omega C}{r + j\omega L}} \quad \text{— волновая проводимость линии;}$$

$$\gamma = \sqrt{(r + j\omega L)(g + j\omega C)} = \alpha + j\beta \quad \text{— коэффициент распространения;}$$

$r, g, L, C$  — параметры на единицу длины линии.

Принимая  $x = 0$ , получим выражения напряжения ( $\dot{U}_1$ ) и тока ( $\dot{I}_1$ ) в начале линии через  $\dot{U}_l$  и  $\dot{I}_l$  в конце линии, а именно:

$$\dot{U}_1 = \dot{U}_l \operatorname{ch} \gamma l + \frac{1}{Y_0} \dot{I}_l \operatorname{sh} \gamma l;$$

$$\bar{I}_1 = \dot{U}_2 Y_b \operatorname{sh} \gamma l + I_2 \operatorname{ch} \gamma l. \quad (6)$$

Расчет установившегося режима линии с распределенными параметрами в настоящей статье рассматривается как две последовательно решаемые задачи. В первой определяется установившийся режим на концах линии. Во второй определяется установившийся режим линии в произвольной ее точке.

**Постановка первой задачи.** Принимаются в качестве заданных: активная ( $P_m$ ) и реактивная ( $Q_m$ ) мощности начала ( $m = 1$ ) или конца ( $m = 2$ ) линии. Требуется определить: модуль ( $U_k$ ) и фазу ( $\varphi_k$ ) комплексного напряжения ( $\dot{U}_k$ ) конца ( $k = 2$ ) или начала ( $k = 1$ ) линии. Итак, имеем  $m, k = 1, 2; m \neq k$ .

Для решения этой задачи в качестве исходных примем уравнения в форме (6).

Преобразуем систему (6) к виду уравнений четырехполюсника, записанных в форме (Y):

$$\begin{bmatrix} Y_b \frac{\operatorname{ch} \gamma l}{\operatorname{sh} \gamma l} & -Y_b \frac{1}{\operatorname{sh} \gamma l} \\ Y_b \frac{1}{\operatorname{sh} \gamma l} & -Y_b \frac{\operatorname{ch} \gamma l}{\operatorname{sh} \gamma l} \end{bmatrix} \cdot \begin{bmatrix} \dot{U}_1 \\ \dot{U}_2 \end{bmatrix} = \begin{bmatrix} \dot{I}_1 \\ \dot{I}_2 \end{bmatrix}, \quad (1)$$

где  $\operatorname{sh} \gamma l, \operatorname{ch} \gamma l$  — функции комплексного аргумента  $\gamma l = (\gamma + j\beta) l$ .

Дополним (1) следующими выражениями комплексных мощностей генератора, действующего на входных—1, и нагрузки, подключенной к выходным—2 зажимам четырехполюсника:

$$\begin{aligned} P_1 - jQ_1 &= \dot{U}_1 \dot{I}_1 \\ P_2 - jQ_2 &= -\dot{U}_2 \dot{I}_2 \end{aligned} \quad (2)$$

где  $\dot{U}$  — величина, сопряженная с комплексом  $U$ .

Путем исключения из системы (1) токов  $\dot{I}_2$  и  $\dot{I}_1$ , используя для этой цели выражения (2), получаются следующие уравнения комплексной мощности на зажимах линии с распределенными параметрами в функции ее комплексных напряжений и вторичных ее параметров  $Y_b$  и  $\gamma$ :

$$P_m - jQ_m = \frac{Y_l}{\operatorname{sh} \gamma l} (U'_m \operatorname{ch} \gamma l - \dot{U}_m U_k), \quad (3)$$

где  $m = 1, 2$  — индекс начала и конца линии.

После преобразований получаются следующие формулы для расчета активной и реактивной мощностей:

$$P_m = U_m y_0 \frac{1}{s} [U_m c \cos(\varepsilon - \rho_a + \rho_c) - U_k \cos(\varepsilon - \rho_a + \rho_k - \frac{1}{2} \rho_m)],$$

$$Q_m = U_m y_n \frac{1}{s} [-U_m c \sin(\varepsilon - \rho_s + \rho_c) + U_k \sin(\varepsilon - \rho_s + \rho_c - \psi_m)], \quad (4)$$

где коэффициенты  $y_n$ ,  $s$ ,  $c$ ,  $\varepsilon$ ,  $\rho_s$ ,  $\rho_c$  определяются в функции параметров линии, а именно:

$$y_n = \frac{1 + (gr - \omega^2 CL)^2 + \omega^2 (Cr - Lg)^2}{1 + r^2 + \omega^2 L^2};$$

$$s = 1 - \frac{\text{sh}^2 \alpha l \cos^2 \beta l - \text{ch}^2 \alpha l \sin^2 \beta l}{\text{ch}^2 \alpha l \cos^2 \beta l - \text{sh}^2 \alpha l \sin^2 \beta l};$$

$$c = 1 - \frac{\text{ch}^2 \alpha l \cos^2 \beta l - \text{sh}^2 \alpha l \sin^2 \beta l}{\text{ch}^2 \alpha l \cos^2 \beta l - \text{sh}^2 \alpha l \sin^2 \beta l};$$

$$\varepsilon = \frac{1}{2} \arctg \frac{\omega (Cr - Lg)}{gr - \omega^2 CL};$$

$$\rho_s = \arctg \frac{\text{ch} \alpha l \sin \beta l}{\text{sh} \alpha l \cos \beta l};$$

$$\rho_c = \arctg \frac{\text{sh} \alpha l \sin \beta l}{\text{ch} \alpha l \cos \beta l};$$

$$\alpha = \frac{\omega}{2g} (Lg + Cr);$$

$$\beta = \frac{1}{2} \sqrt{\omega^2 LC - rg - 1 + (r^2 + \omega^2 L^2)(g^2 + \omega^2 C^2)}. \quad (5)$$

Учитывая, что линия с распределенными параметрами, представляемая четырехполюсником, служит связью между энергосистемами, эквивалентизируемыми многополюсниками, целесообразно искомые уравнения установившегося режима линии с распределенными параметрами записать в форме, соответствующей условиям указанного метода [2] расчета. С учетом сказанного на основе уравнений (4) получаются выражения (6) – (9) для искомых значений: активной мощности  $P_m$ , реактивной мощности  $Q_m$ , модуля напряжений  $U_k$  и синуса фазы напряжения  $x_m = \sin \psi$ , соответственно для узлов  $m$ ,  $k$  четырехполюсника, эквивалентно представляющего линию с распределенными параметрами. Так как  $m \neq k$ , то очевидно, что в данной задаче величины  $P_k$ ,  $Q_k$ ,  $U_m$ ,  $\psi_m$  принимаются в качестве заданных.

$$P_m = U_m^2 a - U_m U_k \frac{H_k}{s} [\cos(\varepsilon - \rho_s) (1 - \overline{x_m^2})(1 - \overline{x_k^2}) - x_m x_k] - \sin(\varepsilon - \rho_s) (x_m | \overline{1 - x_k^2} - x_k | \overline{1 - x_m^2}); \quad (6)$$

$$Q_m = U_m^2 b + U_m U_k \frac{H_k}{s} [\cos(\varepsilon - \rho_s) (x_k | \overline{1 - x_m^2} - x_m | \overline{1 - x_k^2}) + \sin(\varepsilon - \rho_s) (1 - \overline{x_m^2})(1 - \overline{x_k^2}) + x_m x_k]; \quad (7)$$

$$x_k = \frac{1}{U_k^2 b - Q_k} \left\{ (P_k - U_k^2 a) \sqrt{1 - x_k^2} + U_k U_m y_b \frac{1}{s} [\cos(\varepsilon - \rho_s) \sqrt{1 - x_m^2} - \sin(\varepsilon - \rho_s) x_m] \right\}; \quad (8)$$

$$U_k = -\frac{P}{2} \pm \sqrt{\frac{P^2}{4} - q}, \quad (9)$$

где

$$p = U_m y_b \frac{1}{bs} [\sin(\varepsilon - \rho_s) \sqrt{(1 - x_k^2)(1 - x_m^2)} + x_k x_m] + \cos(\varepsilon - \rho_s) (x_m \sqrt{1 - x_k^2} - x_k \sqrt{1 - x_m^2});$$

$$q = -\frac{Q_k}{b}; \quad x_m = \sin \psi_m; \quad x_k = \sin \psi_k;$$

$$a = y_b \frac{c}{s} \cos(\varepsilon - \rho_s + \rho_c); \quad b = -y_b \frac{c}{s} \sin(\varepsilon - \rho_s + \rho_c);$$

$$m, k = 1, 2; \quad m \neq k.$$

Полученные уравнения (6) - (9) установившегося режима линии с распределенными параметрами могут быть записаны и в следующей форме неявных функций:

$$P_m^{i+1} = P(x_k^i; U_k^i); \quad (6^i)$$

$$Q_m^{i+1} = Q(x_k^i; U_k^i); \quad (7^i)$$

$$x_k^{i+1} = x(x_k^i; U_k^i); \quad (8^i)$$

$$U_k^{i+1} = U(x_k^i); \quad (9^i)$$

где  $i$  — индекс шага итерации.

Из структуры уравнений (6<sup>i</sup>) - (9<sup>i</sup>) видно, что они являются нелинейными и могут быть решены методами последовательных приближений [3]. После их решения величины комплексных токов  $I_1$  и  $I_2$  легко определяются согласно уравнениям (2). Решения этих уравнений могут быть записаны в следующей форме:

$$I_m = \frac{1}{U_m} \sqrt{P_m^2 + Q_m^2}; \quad (10)$$

$$\gamma_m = \psi_m - \arctg \frac{Q_m}{P_m}; \quad (11)$$

где  $I_m$ ,  $\gamma_m$  — модуль и аргумент комплексного тока в конце ( $m=2$ ) и в начале ( $m=1$ ) линии;

$\varphi_m$  — фаза комплексного напряжения  $U_m$ .

По полученным результатам расчета установившегося режима на концах линии можно определить также потери активной ( $p$ ) и реактивной ( $q$ ) мощностей в линии, а именно:

$$p = P_1 - P_2; \quad q = Q_1 - Q_2. \quad (12)$$

**Постановка второй задачи.** Принимаются в качестве заданных комплексное напряжение ( $U_1$ ) и ток ( $I_1$ ) в конце линии. Эти величины получаются, как было отмечено выше, в результате решения уравнений (6) — (11). Требуется определить режим линии в любой ее точке, т. е.  $U_x$ ,  $I_x$ ,  $P_x$ ,  $Q_x$ . Исходным для решения этой задачи могут служить уравнения (а) и (2).

Активное ( $U'_x$ ) и реактивное ( $U''_x$ ) слагаемые напряжения в произвольной ( $x$ ) точке линии могут быть вычислены по следующим формулам:

$$U_x = U_1 c_x \cos(\psi_2 + \rho_{cx}) + \frac{1}{y_b} I_1 s_x \cos(\gamma_2 - \varepsilon + \rho_{sx}); \quad (13)$$

$$U'_x = U_1 c_x \sin(\psi_2 + \rho_{cx}) + \frac{1}{y_b} I_1 s_x \sin(\gamma_2 - \varepsilon + \rho_{sx}). \quad (14)$$

Аналогично вычисляются активные ( $I'_x$ ) и реактивные ( $I''_x$ ) слагаемые тока в произвольной ( $x$ ) точке линии:

$$I'_x = I_1 c_x \cos(\gamma_2 + \rho_{cx}) + Y_b U_1 s_x \cos(\psi_2 + \varepsilon + \rho_{sx}); \quad (15)$$

$$I''_x = I_1 c_x \sin(\gamma_2 + \rho_{cx}) + Y_b U_1 s_x \sin(\psi_2 + \varepsilon + \rho_{sx}). \quad (16)$$

Используемые в формулах (13) — (16) коэффициенты определяются выражениями:

$$c_x = \sqrt{\operatorname{ch}^2 \alpha(l-x) \cos^2 \beta(l-x) + \operatorname{sh}^2 \alpha(l-x) \sin^2 \beta(l-x)};$$

$$s_x = \sqrt{\operatorname{sh}^2 \alpha(l-x) \cos^2 \beta(l-x) + \operatorname{ch}^2 \alpha(l-x) \sin^2 \beta(l-x)};$$

$$\rho_{cx} = \operatorname{arc} \operatorname{tg} \frac{\operatorname{ch} \alpha(l-x) \sin \beta(l-x)}{\operatorname{sh} \alpha(l-x) \cos \beta(l-x)};$$

$$\rho_{sx} = \operatorname{arc} \operatorname{tg} \frac{\operatorname{sh} \alpha(l-x) \sin \beta(l-x)}{\operatorname{ch} \alpha(l-x) \cos \beta(l-x)}, \quad (17)$$

где  $x$  — расстояние от начала линии до произвольной ее точки.

Коэффициенты  $\alpha$ ,  $\beta$ ,  $\gamma$ ,  $\delta$ ,  $\epsilon$  определяются согласно (5). Легко заметить, что коэффициенты  $c$ ,  $s$ ,  $\gamma_x$ ,  $\delta_x$ , определяемые по (5), получаются из (17), если в последних принять  $x = 0$ , что будет соответствовать условию  $U_x = U_1$ ,  $I_x = I_1$ .

По вычисленным величинам активных и реактивных слагаемых токов и напряжений в произвольной точке линии легко определяются комплексные  $\dot{U}_x$  и  $\dot{I}_x$ , а именно:

$$U = U_x + jU_x' = U_x e^{j\psi_x};$$

$$\dot{I}_x = I_x + jI_x' = I_x e^{j\gamma_x},$$

где

$$U_x = \sqrt{(U_x'')^2 + (U_x')^2}; \quad \psi_x = \arctg \frac{U_x'}{U_x''}.$$

$$I_x = \sqrt{(I_x'')^2 + (I_x')^2}; \quad \gamma_x = \arctg \frac{I_x'}{I_x''}.$$

Легко вычисляются также активные и реактивные мощности в произвольной точке линии:

$$P_x = U_x I_x \cos(\psi_x - \gamma_x); \quad (19)$$

$$Q_x = U_x I_x \sin(\psi_x - \gamma_x).$$

**Выводы:** Установившийся режим линии с распределенными параметрами находится путем последовательного решения двух задач. В первой задаче определяются параметры режима в начале и конце линии, во второй задаче — параметры режима в произвольной точке линии. Для решения первой задачи предлагаются формулы (6) — (11), для второй задачи — формулы (13) — (19).

АрмНИИЭ

Поступило 23.X.19.0.

Հ. Տ. ԱԶՅԱՆ

ՔԱՇԻՎԱՆԻ ՊԱՐԱՄԵՏՐՆԵՐՈՎ ԳՈՒ ԿԱՅՈՒՆԱՅԱԾ ՌԵՅԻՄԻ ԶԱՎԱՍԼՐՈՒՄՆԵՐԸ

Ա Վ Փ Ո Փ Ո Վ

Ուշիւրված պարամետրներով գծի կայունացած սեփմի պարամետրները գտնվում են հաջորդաբար երկու խնդիրներ լուծելով: Առաջին խնդրի լուծումից ստացվում են գծի սեփմի պարամետրները նրա սկզբում և վերջում, երկրորդի լուծումից՝ գծի սեփմի պարամետրները նրա կամայական կետում: Առաջին խնդրի լուծման համար ստաչարկվում են (6) — (11) բանաձևերը, երկրորդի համար՝ (13) — (19) բանաձևերը:

## ЛИТЕРАТУРА

1. Атабеков Г. И. Теоретические основы электротехники Изд. "Энергия", 1966.
2. Адош Г. Т. Алгоритм расчета установившегося режима энергосистем с учетом нелинейных характеристик генераторов и нагрузок. "Электричество", № 2, 1970.
3. Демидович Б. П., Марон И. А. Основы вычислительной математики Изд. "Наука", 1970.

СТРОИТЕЛЬНАЯ МЕХАНИКА

Вх. А. АМБАРՉՄՅԱՆ

О ПЕРИОДАХ СВОБОДНЫХ НЕЛИНЕЙНЫХ КОЛЕБАНИЙ  
 КАРКАСНЫХ ЗДАНИЙ

Точный расчет каркасных зданий на восприятие сейсмических сил в значительной степени зависит от правильного определения их динамических характеристик, в частности от частоты (периода) свободных колебаний. Определение частот свободных колебаний каркасных зданий связано с трудоемкими вычислениями собственных значений квадратных матриц и решением систем алгебраических уравнений высших порядков. В работе [1] получены компактные формулы для определения периодов колебаний каркасных зданий в зависимости от этажности при упругих линейных колебаниях. Цель настоящей работы — определить аналогичную зависимость с учетом нелинейности колебаний.

Свободные линейные колебания каркасных зданий при абсолютно жестких ригелях (без учета затухания) описываются дифференциальными уравнениями вида [2]:

$$\sum_{k=1}^n m_k y_k'' + a_s (y_s - y_{s-1}) = 0, \quad (s = 1, 2, \dots, n) \quad (1)$$

где  $m_s$  — масса, сосредоточенная в  $(n - k + 1)$ -ом этаже;

$a_s$  — жесткость  $(n - s + 1)$ -го этажа;

$y_s$  — перемещение  $(n - s + 1)$ -го этажа.

Как видно из (1), восстанавливающая сила  $R_s(y_s - y_{s-1}) = a_s (y_s - y_{s-1})$  изменяется линейно. Для материалов, применяемых в строительных конструкциях, характерна так называемая «мягкая характеристика» восстанавливающей силы [3], при которой производная  $R_s(y_s - y_{s-1})$  убывает с ростом деформаций. Диаграммы строительных материалов при динамических процессах характеризуются различными законами нагрузки и разгрузки. При нагрузке восстанавливающая сила подчиняется нелинейному закону, а при разгрузке — линейному. Для решения задачи исходим из уравнений упруго-нелинейных колебаний. Как будет показано, используя значения периодов упруго-нелинейных колебаний, можно найти периоды колебаний при гистерезисной схеме деформирования. Подставляя в (1) вместо линейной восстанавливающей силы нелинейную в виде  $R_s(y_s - y_{s-1}) = a_s [(y_s - y_{s-1}) - \epsilon (y_s - y_{s-1})^3]$ , получим уравнения упруго-нелинейных колебаний:

$$\sum_{s=1}^n m_s \ddot{y}_s + a_s [(y_s - y_{s+1}) - \varepsilon_s (y_s - y_{s-1})]^2 = 0, \quad (s = 1, 2, \dots, n) \quad (2)$$

где  $\varepsilon_s$  — малый положительный параметр, характеризующий нелинейность деформации  $(n - s + 1)$ -го этажа. По результатам работы [4] для простой и консольной железобетонных балок коэффициент нелинейности соответственно имеет значения:  $0,06 \text{ см}^{-2}$  и  $0,17 \text{ см}^{-2}$ . В многоярусной раме нижние и верхние этажи сжаты в разной степени. Это означает, что в уравнениях (2) значение  $\varepsilon_s$  для нижних этажей должно быть больше по сравнению с верхними. Однако в дальнейшем влиянием нормальных сил пренебрегаем и принимаем

$$\varepsilon_1 = \varepsilon_2 = \dots = \varepsilon_n = \varepsilon.$$

Исходя из физических представлений, уравнениями (2) можно воспользоваться только для таких значений  $(y_s - y_{s+1})$ , при которых восстанавливающая сила по абсолютной величине возрастает. Из условия

$$K'_s (y_s - y_{s+1}) = a_s [1 - 3\varepsilon_s (y_s - y_{s+1})^2] > 0$$

находим, что

$$\varepsilon < \frac{1}{3(y_s - y_{s+1})^2_{\max}}. \quad (3)$$

Для нахождения частоты (периода) нелинейной системы, описываемой уравнениями (2), воспользуемся асимптотическим методом Крылова-Боголюбова [5]. Общее решение уравнений (2) ищем в виде разложения:

$$y_s = C_s^{(1)} Y \cos(\omega_s^{(1)} t + \psi) + \varepsilon U_s^{(1)}(Y, \omega_s^{(1)} t + \psi) + \varepsilon^2 U_s^{(2)}(Y, \omega_s^{(1)} t + \psi) + \dots \quad (4)$$

где  $Y$  — максимальное перемещение свободного конца;

$C_s^{(1)}$  — частные решения линейной системы уравнений (1);

$\omega_s^{(1)}$  — круговая частота основной формы линейных колебаний;

$U_s^{(1)}, U_s^{(2)}$  — периодические функции угла  $\psi = \omega_s^{(1)} t + \psi$  с периодом  $2\pi$ .

Величины  $Y$  и  $\psi$  как функции времени определяются дифференциальными уравнениями:

$$\left. \begin{aligned} \frac{dY}{dt} &= \varepsilon A_1(Y) + \varepsilon^2 A_2(Y) + \varepsilon^3 \dots \\ \frac{d\psi}{dt} &= \omega_s^{(1)} + \varepsilon B_1(Y) + \varepsilon^2 B_2(Y) + \varepsilon^3 \dots \end{aligned} \right\}$$

В качестве первого приближения принимаем:

$$y_s = C_s^{(1)} Y \cos \psi, \quad (s = 1, 2, \dots, n) \quad (5)$$

где



$$\left. \begin{aligned} \frac{dY}{dt} &= \varepsilon A_1(Y) \\ \omega(Y) &= \frac{d\psi}{dt} = \omega_s^{(1)} + \varepsilon B_1(Y) \end{aligned} \right\} \quad (6)$$

$\omega(Y)$  — искомая частота нелинейных колебаний.

Для нахождения  $B_1(Y)$  воспользуемся одним из уравнений гармонического баланса [5]

$$\int_0^{2\pi} \sum_{r=1}^n C_r^{(1)} \left\{ \sum_{k=1}^n m_k y_k + a_s (y_s - y_{s-1}) - a_s \varepsilon (y_s - y_{s-1})^2 \right\} \cos \psi d\psi = 0. \quad (7)$$

$$(s = 1, 2, \dots, n)$$

Дифференцируя (5) с учетом (6), с точностью до величин первого порядка малости находим:

$$y_s = C_s^{(1)} [-2\varepsilon \omega_s^{(1)} \sin \psi A_1(Y) - Y \omega_s^{(1)2} \cos \psi - 2\varepsilon Y \omega_s^{(1)} \cos \psi B_1(Y)]. \quad (8)$$

Подставляя (5) и (8) в уравнения (7), получим:

$$\int_0^{2\pi} \sum_{r=1}^n C_r^{(1)} \left\{ \sum_{k=1}^n -m_k C_k^{(1)} [2\varepsilon \omega_s^{(1)} \sin \psi A_1(Y) + Y \omega_s^{(1)2} \cos \psi + \right. \\ \left. + 2\varepsilon Y \omega_s^{(1)} \cos \psi B_1(Y)] + a_s Y \cos \psi (C_s^{(1)} - C_{s+1}^{(1)}) - \right. \\ \left. - \varepsilon a_s Y^2 \cos^2 \psi (C_s^{(1)} - C_{s+1}^{(1)})^2 \right\} \cos \psi d\psi = 0. \quad (9)$$

После интегрирования и преобразований получим:

$$-2Y \omega_s^{(1)} \varepsilon B_1(Y) \pi \sum_{r,k=1}^{n,s} m_k C_r^{(1)} C_k^{(1)} + Y \varepsilon \sum_{r,k=1}^{n,s} C_r^{(1)} [-m_k \omega_s^{(1)2} C_k^{(1)} + \\ + a_s (C_r^{(1)} - C_{s+1}^{(1)})] = \frac{3}{4} \varepsilon Y^2 \sum_{r,k=1}^n a_s C_r^{(1)} (C_s^{(1)} - C_{s+1}^{(1)})^2. \quad (s = 1, 2, \dots, n) \quad (10)$$

Принимаем, что все сосредоточенные массы равны, а жесткость по всем этажам постоянна ( $a_s = a_1 = \dots = a$ ;  $m_1 = m_2 = \dots = m$ ).

Имея в виду, что

$$\sum_{r,k=1}^{n,s} -m \omega_s^{(1)2} C_r^{(1)} + a (C_s^{(1)} - C_{s+1}^{(1)}) = 0 \quad (s = 1, 2, \dots, n)$$

и обозначая

$$\sum_{r,k=1}^{n,s} C_r^{(1)} C_k^{(1)} = M_s^{(1)} \quad \text{и} \quad \sum_{r,s=1}^n C_r^{(1)} (C_s^{(1)} - C_{s+1}^{(1)})^2 = \Delta_s^{(1)},$$

получим

$$\varepsilon B_1 = -\frac{3}{8} \frac{\varepsilon Y^2}{\omega_1^{(1)}} \frac{\alpha}{m} \frac{\Delta_1^{(n)}}{M_1^{(n)}}. \quad (11)$$

В работе [1] приведены значения  $C_s^{(1)}$  и  $\lambda_1 = \omega_1^{(1)2} \cdot \frac{m}{\alpha}$  для  $n = 2 \div 20$ .

Используя эти данные и вычисляя  $\Delta_1^{(n)}$  и  $M_1^{(n)}$ , получим  $\varepsilon B_1$ . Подставляя  $\varepsilon B_1$  во второе уравнение системы (6), получим значение частот нелинейных колебаний  $\omega(Y)$  в первом приближении. Вычисления проводились для  $n = 2 \div 10; 15; 20$  этажей. Полученные значения  $M_1^{(n)}$ ,  $\Delta_1^{(n)}$  и  $\omega(Y)$  приведены в таблице 1.

Таблица 1

$n$	$M_1^{(n)}$	$\Delta_1^{(n)}$	$\omega(Y); \omega_1^{(1)}$
1	1	1	$1 - 0,375 \varepsilon Y^2$
2	4,235	0,869	$1 - 0,109 \varepsilon Y^2$
3	11,328	0,316	$1 - 0,0528 \varepsilon Y^2$
4	24,089	0,247	$1 - 0,0317 \varepsilon Y^2$
5	43,542	0,197	$1 - 0,0209 \varepsilon Y^2$
6	71,373	0,164	$1 - 0,01479 \varepsilon Y^2$
7	109,336	0,141	$1 - 0,01107 \varepsilon Y^2$
8	158,886	0,123	$1 - 0,00912 \varepsilon Y^2$
9	221,977	0,111	$1 - 0,00687 \varepsilon Y^2$
10	299,713	0,100	$1 - 0,00562 \varepsilon Y^2$
15	961,594	0,068	$1 - 0,00236 \varepsilon Y^2$
20	2224,004	0,051	$1 - 0,00147 \varepsilon Y^2$

Решение уравнений (2) во втором приближении имеет вид:

$$y_s = C_s^{(1)} Y \cos \psi + \varepsilon U_s^{(1)}, \quad (s = 1, 2, \dots, n) \quad (12)$$

где  $Y$  и  $\psi$  определяются из уравнений второго приближения:

$$\left. \begin{aligned} \frac{dY}{dt} &= \varepsilon A_1(Y) + \varepsilon^2 A_2(Y), \\ \frac{d\psi}{dt} &= \omega_1^{(1)} + \varepsilon B_1(Y) + \varepsilon^2 B_2(Y). \end{aligned} \right\} \quad (13)$$

Значение  $U_s^{(1)}$  в уравнении (12) находим как амплитуду вынужденных колебаний, возбуждаемых в системе (1) силами  $\alpha = (y_s - y_{s-1})^2$ , в которых  $y_s$  и  $y_{s-1}$  синусоидальные:

$$\begin{aligned} U_s^{(1)} = & \sum_{j=1}^n C_s^{(j)} \frac{\sum_{p=1}^n f_p^{(j)} C_p^{(j)}}{m M_j \omega_j^2} + \sum_{j=2}^n C_s^{(j)} \frac{\sum_{p=1}^n (f_p^{(j)} \cos \psi + g_p^{(j)} \sin \psi) C_p^{(j)}}{m M_j (\omega_j^2 - \omega_1^{(1)2})} + \\ & + \sum_{i=2}^n \sum_{j=1}^n C_s^{(i)} \frac{\sum_{p=1}^n (f_p^{(i)} \cos i\psi + g_p^{(i)} \sin i\psi) C_p^{(j)}}{m M_j (\omega_j^2 - i^2 \omega_1^{(1)2})}, \end{aligned} \quad (14)$$

где

$$\sum_{r, k=1}^{s, j} C_r^{(j)} C_k^{(j)} = M_j \quad (s, j = 1, 2, \dots, n),$$

$f_p^{(j)}$  и  $a_p^{(j)}$  — коэффициенты разложения функции  $a(y_p - y_{p-1})^2$  в ряд Фурье. При вычислении  $U^{(1)}$  в сумме третьего слагаемого было учтено три члена. Дифференцируя (12) с учетом (13) с точностью до величины второго порядка малости включительно и подставляя  $y$  и  $y'$  в (7), находим  $B_s(Y)$ . Что подставляя во второе уравнение системы (13) находим значение  $\omega^{(1)}$  с учетом двух приближений. Значения  $B_s(Y)$  вычислены для  $n = 1, 2, 3$  этажей. Значения частот  $\omega(Y)$  с учетом двух приближений имеют вид:

$$\text{при } n = 1 \quad \omega(Y) = \omega^{(1)}(1 - 0,375\varepsilon Y^2 - 0,058\varepsilon^2 Y^4);$$

$$\text{при } n = 2 \quad \omega(Y) = \omega^{(1)}(1 - 0,109\varepsilon Y^2 - 0,0039\varepsilon^2 Y^4);$$

$$\text{при } n = 3 \quad \omega(Y) = \omega^{(1)}(1 - 0,058\varepsilon Y^2 - 0,00084\varepsilon^2 Y^4).$$

Для систем со степенями свободы более трех второе приближение не произведено из-за громоздкости вычислений, кроме того, как видно из табл. 2, при принимаемом интервале изменения коэффициента нелинейности  $\varepsilon$  первое приближение дает результаты с достаточной для практических целей точностью.

Таблица 2

n	$\omega(Y) = \omega^{(1)}$ (I приближение)		$\omega(Y) = \omega^{(1)}$ (II приближение)	
	$\varepsilon = 0,16$	$\varepsilon = 0,33$	$\varepsilon = 0,16$	$\varepsilon = 0,33$
1	0,9398	0,8763	0,9384	0,8700
2	0,9302	0,8562	0,9286	0,8501
3	0,9239	0,8432	0,9222	0,8362
4	0,9188	0,8327	—	—
5	0,9164	0,8276	—	—
6	0,9147	0,8242	—	—
7	0,9137	0,8222	—	—
8	0,9124	0,8195	—	—
9	0,9109	0,8164	—	—
10	0,9100	0,8146	—	—
15	0,9078	0,8100	—	—
20	0,9060	0,8060	—	—

О количественном изменении частоты нелинейных колебаний  $\omega(Y)$  в зависимости от этажности и от коэффициента нелинейности можно судить по данным табл. 2, где для простоты принято  $(y_s - y_{s-1})_{\max} = 1$ . Из условия (3) получается, что  $\varepsilon \leq 0,33$ . Для сравнения влияния этажности на величину  $\omega(Y)/\omega^{(1)}$  в первом приближении принимаем, что  $Y = n(y_s - y_{s-1})_{\max} [1]$ .

Как видно из табл. 2, с увеличением этажности уменьшается отношение  $\omega(Y)/\omega_3^{(1)}$  и разница между частотами нелинейных и линейных колебаний более существенна при больших  $\alpha$ . Обработка данных табл. 1 показала, что значения  $\omega(Y)/\omega_3^{(1)}$  хорошо аппроксимируются функцией:

$$\omega(Y)/\omega_3^{(1)} = 1 - 0,375 \pi^{-1,84} \varepsilon Y^2,$$

а для отношения периодов колебаний  $T(Y)/T_3^{(1)}$  с точностью  $\varepsilon$  будем иметь:

$$T(Y)/T_3^{(1)} = 1 + 0,375 \pi^{-1,84} \varepsilon Y^2. \quad (15)$$

Подставляя в (15) вместо  $T_3^{(1)}$  его значение, приведенное в работе [1], получим аналогичную формулу для определения периода упруго-нелинейных колебаний:

$$T(Y) = 2\pi (0,367 + 0,633 n) \sqrt{\frac{m}{a} (1 + 0,375 \pi^{-1,84} \varepsilon Y^2)}.$$

Теперь рассмотрим случай, когда восстанавливающая сила при нагрузке подчиняется нелинейному закону

$$R = a |(y_i - y_{i-1}) - \varepsilon (y_i^2 - y_{i-1}^2)|,$$

а разгрузка происходит линейно. Угол наклона линии разгрузки с осью  $(y_i - y_{i-1})$  равен  $\alpha = \arctg a$ .

Время  $t_1$ , в течение которого восстанавливающая сила изменяется от нуля до  $R_2^{max}$ , равно:

$$t_1 = \frac{1}{4} T(Y).$$

Время разгрузки  $t_2$  (независимо от значения  $Y$ ) равно:

$$t_2 = \frac{1}{4} T_3^{(1)}.$$

Для полупериода гистерезисной системы имеем:

$$\frac{1}{2} T_{гис} = t_1 + t_2 = \frac{1}{4} [T(Y) + T_3^{(1)}]. \quad (16)$$

Используя (15), получим формулу для определения периода гистерезисных колебаний:

$$T_{гис} = T_3^{(1)} \left[ 1 + \frac{1}{2} 0,375 \pi^{-1,84} \varepsilon Y^2 \right]. \quad (17)$$

Рассмотрим пажный с практической точки зрения случай, когда угол наклона линии разгрузки  $\beta$  меньше значения  $\alpha = \arctg a$ . Отметим, что значения  $T(Y)$  первого приближения, то есть (15), можно получить также эквивалентной линеаризацией уравнений упруго-нелинейных колебаний [5]. Линеаризованные уравнения (2) при  $a_1 = a_2 = \dots = a$ ;  $m_1 = m_2 = \dots = m$  имеют вид:

$$\sum_{k=1}^n m y_k + a_s (y_s - y_{s+1}) = 0, \quad (s = 1, 2, \dots, n)$$

где  $a_s$  — эквивалентная жесткость этажа, определяемая выражением:

$$a_s = a \left[ 1 - \frac{3}{4} \gamma^2 \frac{\sum_{i=1}^s (C_i^{(1)} - C_{i+1}^{(1)})^2}{\sum_{i=1}^s (C_i^{(1)} - C_{i-1}^{(1)})} \right].$$

Угол наклона ( $\gamma$ ) линии  $R_s = a_s (y_s - y_{s+1})$  с осью  $(y_s - y_{s+1})$  равен:  $\gamma = \arctg a_s$ . Из (16) нетрудно убедиться, что если  $\gamma \ll \beta \ll \theta$ , то периоды упруго-нелинейной и гистерезисной систем будут близкими. При  $\beta = \gamma$  периоды обеих систем оказываются равными. В случае  $\beta < \gamma$  период упруго-нелинейной системы будет меньше периода гистерезисной системы.

В заключение отметим, что определение периода колебаний каркасных зданий с учетом нелинейности деформаций даст возможность выявить их действительную несущую способность при сейсмических воздействиях.

Армянский НИИ  
стройматериалов и сооружений

Поступило 19.VII.1970.

#### Վ. Ա. ԱՄԲԱՐԿՈՒՄՅԱՆ

ԿԱՐԿԱՍՈՒՅԻՆ ՇԵՆՔԻՐԻ ՈՂ-ԳԹՈՅԻՆ ՏԱՏԱՆՈՒՄՆԵՐԻ ՊԱՐԲԵՐՈՒԹՅՈՒՆՆԵՐԻ ՎԵՐԱԿԱՆՁՆՈՂ ՈՒՓԻ և ԽԵՂԱՓՈՒՍՈՒՄՆԵՐԻ ՈՂ-ԳԹՈՅԻՆ ԿԱՖԱՏԱՆ ԳԻՎԿՐՈՒՄ: Ստացված է բանաձև ուղ-գծային առանցքային պարբերությունների սրուշման համար՝ կախված ուղ-գծային թվան առանցքային և հարկայնությունից:

#### Ա մ փ ո փ ո ռ ի մ

Ստացված առանցքային է բացարձակ կոշտ պարբերականներով կարկասային շենքերի առանցքային պարբերությունները՝ վերականգնող ուժի և տեղափոխություն ուղ-գծային կախման գիվկրում: Ստացված է բանաձև ուղ-գծային առանցքային պարբերությունների սրուշման համար՝ կախված ուղ-գծային թվան առանցքային և հարկայնությունից:

#### Л И Т Е Р А Т У Р А

1. Гороян Т. А., Хачиян Э. Е. К изучению сейсмостойкости железобетонных каркасных зданий повышенной этажности. Доклады Всесоюзного совещания по сейсмостойкому строительству в Алма-Ате, Ереван, 1967.
2. Хачиян Э. Е. Упруго-пластический расчет систем со многими степенями свободы на сейсмостойкость. Научные сообщения АИСМ, вып. 7. Ереван, 1966.
3. Коудрер Г. Нелинейная механика. М., 1961.
4. Мурусидяе Р. Х. Экспериментальное исследование нелинейности деформация при колебаниях железобетонных элементов. Сб. «Сейсмостойкость сооружений», изд. «Мецниереба», Тбилиси, 1965.
5. Винолюба Н. Н., Митропольский Ю. А. Асимптотические методы в теории нелинейных колебаний. М., 1958.

ВЫЧИСЛИТЕЛЬНАЯ ТЕХНИКА

П. А. МАТЕВОСЯН

ПРИМЕНЕНИЕ АВМ ДЛЯ РЕШЕНИЯ ИНВЕРСНОЙ ЗАДАЧИ ТОЧНОСТИ СЛОЖНЫХ МОДЕЛИРУЮЩИХ УСТРОЙСТВ

В работах [1—5 и др.] рассмотрены, главным образом, методы решения задач анализа точности сложных устройств. Не менее важной и более сложной является задача синтеза устройства, исходя из условий заданной точности. Эта, так называемая инверсная задача, в значительной степени усложняется, если ограничения задаются не на один выходной параметр, а на несколько. При установлении ограничений на погрешности параметров решающих устройств необходимо также соблюдать условие минимума затрат на изготовление сложного устройства, т. е. требуется так назначить ограничения (допуски), чтобы стоимость изготовления сложного устройства в целом была возможно минимальной. Аналитические методы решения рассматриваемой задачи для сложных устройств, описываемых нелинейными уравнениями, представляются весьма сложными и трудоемкими. Решение этой задачи в значительной степени облегчается при применении обратимых решающих блоков аналоговых вычислительных машин (АВМ).

В статье предлагается метод решения инверсной задачи точности сложных аналоговых устройств, основанный на применении универсальных АВМ и обратимых решающих блоков.

Систему машинных уравнений в общем случае можно представить так:

$$y_s = F_s(y_1, \dots, y_n, y_{b_1}, k_{11}, \dots, k_{1s}, k_{b_1}), \quad (1)$$

$$(s = 1, 2, \dots, n)$$

где  $y_i$  — машинная переменная или выходной параметр (напряжение, угол поворота, скорость);

$y_s$  — производная машинной переменной по машинному времени  $t_m$  ( $s = 1, 2, \dots, n$ );

$y_{b_s}$  — независимая переменная или входной параметр, поданный на вход  $s$ -го решающего блока, имеющего коэффициент передачи  $k_{b_s}$ ;

$k_{q_s}$  — коэффициент передачи  $q$ -го входа решающего блока ( $q = 1, 2, \dots, l$ ).

Начальные условия определим в виде  $y_s(0) = A_s$ .

При исследовании точности аналоговых вычислительных устройств (АВУ) в качестве „первичных ошибок“ удобно рассматривать не

погрешности параметров отдельных деталей, а погрешности решающих блоков в целом, учитываемых ошибками коэффициентов передач  $k_{ij}$ ,  $k_{ij}$ .

Если решение системы (1) представить в виде:

$$y_i = \Phi_i(t, k_{11}, k_{12}, \dots, k_{n1}, k_{21}, \dots, k_{nm}, y_{01}, \dots, y_{0m}), \quad (2)$$

то формулу для расчета точности АВУ согласно [1, 2] можно представить так:

$$\Delta y_i = \sum_{j=1}^{i-1} \left( \frac{\partial \Phi_i}{\partial k_{ij}} \right)_0 \Delta k_{ij} + \sum_{j=1}^m \left( \frac{\partial \Phi_i}{\partial y_{0j}} \right)_0 \Delta y_{0j} + \sum_{j=1}^m \left( \frac{\partial \Phi_i}{\partial k_{ij}} \right)_0 \Delta k_{ij}. \quad (3)$$

Если при решении задачи синтеза ограничения задаются только на  $p$  выходных параметра, а остальные  $n-p$  выходных параметров исследуемого АВУ не ограничены допусками, то структурную схему устройства, предназначенного для решения уравнений (3), можно представить в виде, приведенном на рис. 1. Здесь блок ПАУ, построен-

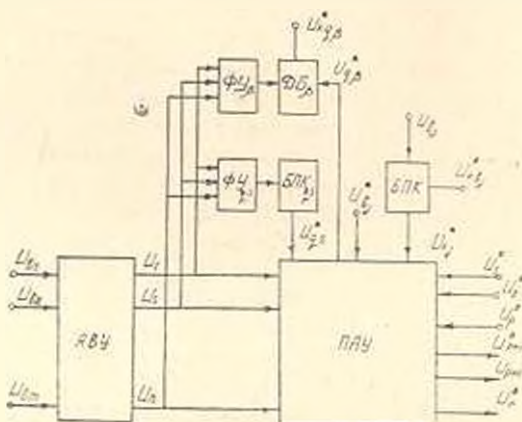


Рис. 1.

ный на обратимых решающих блоках, соответствует схеме „преобразованного вычислительного устройства“, смоделированного на основе уравнений (3). Блок АВУ, соответствующий схеме устройства, смоделированного на основе исходных заданных уравнений (1), предназначен для выдачи в блок ПАУ напряжений, необходимых для вычисления частных производных. Блок ФУ—функциональное устройство, БПК—блок постоянного коэффициента, ДБ—обратимый множително-делительный блок.

С помощью схемы в общем случае можно решать как обратную задачу, так и прямую, т. е. можно установить погрешности выходных параметров АВУ от совместного влияния всех возможных первичных ошибок решающих блоков. При использовании устройства для решения обратной задачи необходимо иметь в виду, что число получаемых в

качестве решения ограничений первичных ошибок решающих блоков должно быть равно числу выходных параметров, на погрешности которых задаются ограничения, т. е. во всех случаях число неизвестных системы (3) должно быть равно числу уравнений. С помощью схемы можно выполнять расчет точности только для одного, единичного экземпляра АВУ. Однако, как известно, в каждом конкретном экземпляре устройства первичные ошибки параметров решающих блоков имеют случайные значения.

При рассмотрении серий однотипных АВУ, предполагая, что распределение случайных значений „первичных ошибок“ решающих блоков нормальное, уравнения допусков для решения рассматриваемой задачи синтеза, согласно (3), можно представить в виде:

$$\begin{aligned} \delta^2 |U_s| = & \sum_{i=1}^n B_{si}^2 \delta^2 |U_i| + \sum_{k=p+1}^{l-n} B_{sk}^2 \delta^2 |U_{kq}| + \\ & + \sum_{j=1}^m B_{sbj}^2 \delta^2 |U_{bj}| + \sum_{j=1}^m B_{skbj}^2 \delta^2 |U_{kbj}| \end{aligned} \quad (4)$$

(s = p + 1, p + 2, \dots, n)

и

$$\begin{aligned} \delta^2 |U_{bz}| = & \sum_{i=1}^p B_{zi}^2 \delta^2 |U_i| - \sum_{q=p+1}^{l-n} B_{zq}^2 \delta^2 |U_{qk}| + \\ & + \sum_{j=1}^m B_{zbj}^2 \delta^2 |U_{bj}| + \sum_{j=1}^m B_{zkbj}^2 \delta^2 |U_{kbj}|, \end{aligned} \quad (5)$$

(z = 1, 2, \dots, p),

где  $B_{si}$ ,  $B_{sk}$ , \dots,  $B_{skbj}$  — нелинейные коэффициенты, которые могут быть получены в результате решения уравнений (3) относительно неизвестных  $\Delta k_{qj}$  и  $\Delta y_j$ .

Основываясь на принципе независимости действия „первичных“ ошибок, с помощью устройства, для заданных значений входных параметров и времени, поочередно можно определять ограничения, погрешностей параметров решающих блоков от действия каждого заданного ограничения в отдельности. Для получения слагаемых формул (4) и (5) к соответствующим выходам схемы ПАУ подключаются блоки квадратов.

Решение задачи синтеза специализированных АВУ, исходя из условий заданной точности решения, как известно, может иметь множество вариантов, если не исходить из дополнительных условий, например, из условия минимальной стоимости изготовления.

Как известно, специализированные АВУ, в зависимости от их назначения, могут быть изготовлены на базе использования как меха-





Так как частные производные  $\frac{\partial f}{\partial z_i}$  предполагается задать графически, то выражения (13) также можно представить в виде графика, тем более, что такая форма представления функции требуется для моделирования с помощью функциональных блоков АВМ.

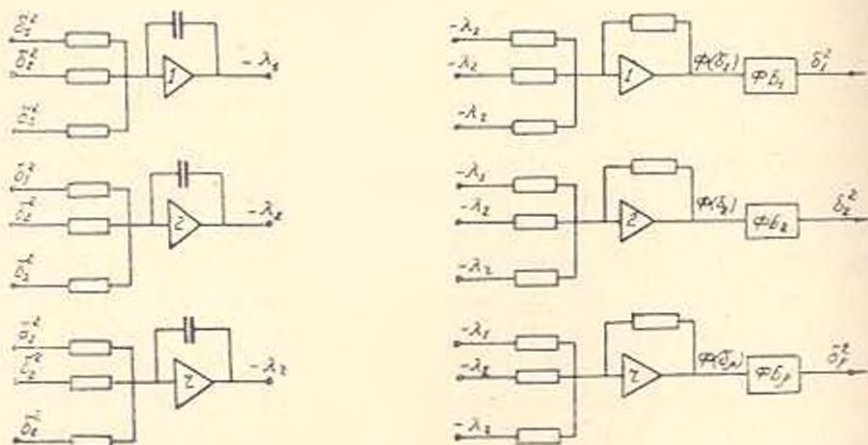


Рис. 2.

Решение рассматриваемой задачи с помощью АВМ может выполняться как по способу „непрерывного решения“, так и итеративным методом расчета. Последний позволяет в значительной степени сократить число используемых решающих блоков путем применения принципа многократного их использования. Если исследуемое АВУ имеет только один выходной параметр, ограниченный допуском, то, согласно (8) и (10), имеем:

$$\left. \begin{aligned} a_{11}^2 \delta_1^2 + a_{12}^2 \delta_2^2 + \dots + a_{1n}^2 \delta_n^2 - \delta_1^2 &= \mathcal{A}_1 = 0 \\ \frac{\partial F}{\partial \delta_1} = \frac{\partial f}{\partial \delta_1} + i_1 a_{11}^2 2 \delta_1 &= 0 \\ \dots & \\ \frac{\partial F}{\partial \delta_p} = \frac{\partial f}{\partial \delta_p} + i_1 a_{1p}^2 2 \delta_p &= 0. \end{aligned} \right\} \quad (14)$$

Из решения написанных  $p + 1$  уравнений получим [6]:

$$\delta_p = \frac{\delta_p^2 \left( \frac{\partial f}{\partial \delta_p} \right)^2}{a_{1p}^2 \sum_{i=1}^p \left[ \left( \frac{\partial f}{\partial \delta_i} \right)^2 \frac{1}{a_{1i}^2} \right]} \quad (15)$$

Если предположить также, что относительные приросты стоимости решающих блоков величины постоянные и равны между собой, то

$$\delta_{1v}^2 = \frac{\delta_{1s}^2}{a_{1v}^4 \sum_{v=1}^p \frac{1}{a_{1v}^2}} \quad (16)$$

Формула (16) может быть использована для грубых ориентировочных расчетов.

АрмНИИЭ

Поступило 23.XI.1969.

Պ. Ա. ԻՍԹԵՎՈՅԱՆ

ԱՆԱՈՒԳԱՅԻՆ ՀԱՇՎԻԶ ՄԵՔԱՆԱՆՆԵՐԻ ՕԳՏԱԿՈՐԿՈՒԹՅՈՒՆԸ ԲԱՐԻ ՄՈԳԱԼԱՑՆՈՂ ՍԱՐՔԵՐԻ ՃՇՏՈՒԹՅԱՆ ԻՎԵՐՍԻԱՅԻՆ ԿՆԻՐԻ ԼՈՒԾՄԱՆ ՀԱՄԱՐ

Ա Վ Փ Ո Փ Ո Ւ Վ

Առաջարկվում է բարդ մոդելացնող սարքերի ճշտության ինվերսիան խնդրի լուծման մեթոդ այն պայմանով, որ լուծող բլոկների պարամետրների վրա դրվում է սահմանափակում՝ ելնելով սարքերի պատրաստման նվազագույն ծախսերից: Քննարկվող խնդրի լուծման համար առաջարկվում է օգտագործել անալոգային հաշվիչ մեքենայի հակադարձ լուծող բլոկները:

Л И Т Е Р А Т У Р А

1. Бругвич Н. Г. Точность механизмов. Гостехиздат, 1946.
2. Быховский М. А. Основы динамической точности электрических и механических цепей. Изд. АН СССР, 1958.
3. Бругвич Н. Г., Сергеев В. И. Основы нелинейной теории точности механизмов с низшими кинематическими парами. Сб. „Точность механизмов и автоматизированные измерительные средства“. Изд. „Наука“, 1966.
3. Meisinger H. F. The Use of Parameter Influence Coefficients in Computer Analysis of Dynamic Systems. Proc. Western Joint Computer Conf., May 3 - 5, 1960.
5. Лебедев А. Н. Основы теории точности счетно-решающих устройств. Ленинград, 1964.
6. Баранов Г. Г. О выборе допусков, обеспечивающих заданную точность механизма и наименьшую стоимость его изготовления. Сб. „Труды института машиноведения“. Семинар по точности в приборостроении. Выпуск 11, Изд. АН СССР, 1956.

Э. В. КАЗАРЯН, А. П. ШОРЫГИН

## ИССЛЕДОВАНИЕ КОНЦЕНТРАЦИОННОЙ ПОГРЕШНОСТИ КАПИЛЛЯРНЫХ РТУТНО-ЭЛЕКТРОЛИТИЧЕСКИХ ПРЕОБРАЗОВАТЕЛЕЙ С ФОТОЭЛЕКТРИЧЕСКИМ СЧИТЫВАНИЕМ

Существенный интерес представляют в настоящее время капиллярные ртутно-электролитические преобразователи информации, отличающиеся простотой конструкции, технологичностью, большим сроком службы, малыми габаритами и весами, малыми уровнями управляющих сигналов и потребляемой мощности. Сопоставление в них функций интегрирования и запоминания при длительной сохранности записанных значений и отсутствии разрушения накопленной информации при непрерывном или при повторном импульсном считывании, легкость сочетания с интегральными полупроводниковыми схемами позволяют достаточно широко применить их в системах автоматического контроля, в системах связи, автоматического управления и др. и качестве аналоговых запоминающих элементов, интеграторов, управляемых сопротивлений (см. [1, 2] и др.).

Одним из методов считывания в таких элементах является фотоэлектрический метод [2, 3, 4], достоинства которого — высокий уровень выходного сигнала, отсутствие гальванических связей цепей управления и считывания и др. Однако имеются лишь весьма неполные и не во всем достоверные сведения о погрешностях рассматриваемых элементов, а способы уменьшения этих погрешностей мало разработаны. Наибольший интерес, при считывании по положению границ жидких фаз ртуть-электролит, представляют специфические здесь концентрационные погрешности, связанные с изменением распределения концентраций компонентов по объему электролита в капилляре при прохождении тока через ячейку, а именно:

„деформационная погрешность“, обусловленная деформацией ртутных менисков в результате изменения поверхностного натяжения;

„погрешность оптической неоднородности“, которая является следствием образования в растворе электролита в прианодной области окрашенного слоя с малым коэффициентом пропускания светового потока.

Деформация границ раздела фаз и изменение толщины указанного слоя при изменении тока приводят к изменению активной площади

отверстия (щели) диафрагмы фотоэлектрического устройства в дополнение к тем полезным изменениям, которые создаются Фарадеевскими процессами. Так как указанные процессы для коллированного капилляра практически не зависят от места (положения) границы раздела фаз в капилляре, то относительная величина погрешности растет по мере закрытия щели диафрагмы одним из ртутных электродов ячейки и может достигать, как показали наши исследования, существенных значений.

Возникающие смещения границ раздела жидких фаз взаимно связаны [5] и результирующие деформации оказываются следствием взаимодействия всех объемных и поверхностных упругих сил системы. Если при этом условия таковы, что не происходит смещения боковых поверхностей столбиков ртути относительно капилляра [5], то взаимная компенсация деформаций обеих границ должна происходить главным образом за счет анодного мениска.

Возникновение у поверхности анодного мениска тонкого окрашенного (зеленоватого) слоя электролита с повышенной оптической плотностью можно приписать увеличению концентрации ионов  $HgJ_2^-$  в этой зоне, а также образованию мелко-дисперсной фазы  $HgJ_2$  из-за обеднения этого слоя ионами  $K^+$  в результате миграции (дрейфа) в прикатодную область. Указанный слой охватывает анодный мениск по всему сечению капилляра. Толщина слоя растет с ростом тока через ячейку и убывает при его уменьшении. Процесс практически обратим, а время установления стационарного состояния (образования слоя при включении тока и его исчезновение при выключении) не превышает нескольких секунд, что подтверждает миграционный характер процесса.

Когда площадь продольного сечения мениска того из ртутных электродов, который в данный момент перекрывает часть щели диафрагмы фотоэлектрического устройства считывания (а в случае анода — также и поглощающего слоя) мала по сравнению с площадью части этой щели, оставшейся открытой, то форма границы раздела жидких фаз (и соответственно границ цветного слоя) практически не оказывает влияния на концентрационную погрешность преобразователя. Задача экранирования щели диафрагмы электродами ячейки может быть в этом случае сведена к одномерной, с заменой реального электрода прямым круглым цилиндром с эквивалентной длиной  $x$ .

Рассмотрим как будет меняться при сделанных допущениях относительная погрешность в процессе изменения длины одного из электродов. Примем за начало отсчета положение этого электрода, когда эквивалентная линейная граница его с электролитом находится на расстоянии  $x_0$  за пределами щели, а экранирующее действие второго электрода также отсутствует.

Тогда в интервале

$$0 \leq x \leq x_0 - \Delta x_0 \quad (1)$$

(где  $\Delta x_0$  — изменение эквивалентной длины электрода при включении или выключении тока управления) концентрационная погрешность равна нулю.

В интервале

$$x_0 - \Delta x_0 < x < x_0 \quad (2)$$

эта погрешность (выраженная в долях активной длины щели диафрагмы  $l$ )

$$\delta_{\text{к}} = \frac{\Delta x_0 - x_0 - x}{l} \quad (3)$$

изменяется по линейному закону в пределах

$$0 \leq \delta_{\text{к}} \leq \frac{\Delta x_0}{l} \quad (4)$$

Основную часть образует интервал

$$x_0 \leq x \leq l - \Delta x_0 + x_0 \quad (5)$$

для которого зависимость погрешности от  $x$ :

$$\delta_{\text{к}} = \frac{\Delta x_0}{l - x_0 - x} \quad (6)$$

имеет гиперболический характер.

Расчетные кривые  $\delta_{\text{к}} = \gamma \left( \frac{l-x}{l} \right)$  для трех различных, неизменных для каждой кривой, значений  $\Delta x_0$ , выраженных в долях длины щели диафрагмы, в предположении, что  $x_0 = \Delta x_0$  (без учета знака деформаций), представлены для иллюстрации на рис. 1. Наибольшего отклонения

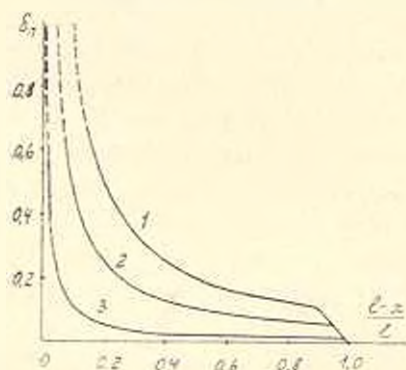


Рис. 1. Зависимость погрешности от положения экранирующего электрода при больших отверстиях (щели) диафрагмы:

1 — при  $\Delta x_0/l = 0,1$ ; 2 — при  $\Delta x_0/l = 0,05$ ;

3 — при  $\Delta x_0/l = 0,01$

хода этих кривых от действительной картины (и притом в сторону преувеличения абсолютной величины относительной погрешности) сле-

дует ожидать для того конца нелинейной части кривой (указан на рисунке пунктиром), на котором  $x$  становится близким к  $l$ , так что средняя наиболее выступающая часть ртутного мениска или наружный край прилегающего к нему поглощающего слоя (если он имеется) может заходить при изменении тока за край диафрагмы. Задача может быть в этом случае сведена к двумерной, если рассмотреть проекцию сканирующего электрода на плоскость щели диафрагмы. В первом приближении проекцию мениска на эту плоскость, а вместе с ним и поглощающего свет цветного слоя, можно аппроксимировать круговым сегментом с основанием, равным ширине щели, и считать, что изменение радиуса кривизны определяется только током через ячейку, а смещение этого основания относительно края щели,  $\Delta x$ , зависит только от протекшего заряда, причем, это смещение отличается от  $l - x$  на небольшую постоянную величину.

При этих условиях, когда проекция конца сканирующего ртутного электрода на плоскость щели достаточно далеко заходит за край щели, относительная погрешность, как показывают расчеты, перестает увеличиваться с уменьшением отверстия диафрагмы, и наибольшая погрешность оказывается меньше, чем следует из расчета для одномерной модели.

Результаты экспериментального определения рассматриваемой погрешности для одного из испытанных образцов преобразователя показаны в виде примера на рис. 2. В качестве выходного сигнала использовался постоянный ток через сопротивление нагрузки, включен-

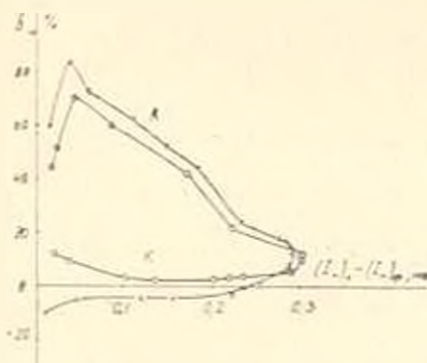


Рис. 2 Зависимость погрешности от значения выходного сигнала, вычисленная по экспериментальным данным для одного из образцов. X — случай анодной поляризации одного электрода;  $\bullet$  — то же другого электрода; A — при закрывании щели анодом; K — то же ватодом.

ное последовательно в цепь фотосопротивления.

На рисунке, по оси ординат

$$\delta_a = \frac{I_a - I_0}{I_0 - I_a} \quad (6)$$

где  $I_0$  — выходной ток в цепи считывания при токе через ячейку  $I_{y-}$  равным нулю;  $I_n$  — то же при заданном значении тока  $I_{y-}$ ;  $I_0$  — выходной фоновый ток при перекрытии одним из ртутных электродов щели диафрагмы по всей ее длине. По оси абсцисс отложена разность токов  $I_0 - I_n$ . При работе на линейном участке характеристики считывающего устройства эта разность приблизительно пропорциональна площади открытой части щели диафрагмы. Характерной является значительно большая погрешность при экранировании щели диафрагмы анодно-поляризованным электродом (кривые А на рис. 2), что связано с большей деформацией границы жидких фаз и с наличием цветного поглощающего слоя у анода.

Эффективный путь уменьшения концентрационной погрешности преобразователя заключается в наложении на постоянный управляющий сигнал переменного синусоидального тока низкой частоты. При этом происходит выравнивание концентрации ионов в объеме электролита и как следствие уменьшение влияния постоянного тока на результирующее значение поверхностного натяжения ртутных менисков, а также исчезновение цветного поглощающего слоя в прианодной области.

На рис. 3 показаны зависимости выходного напряжения при до-

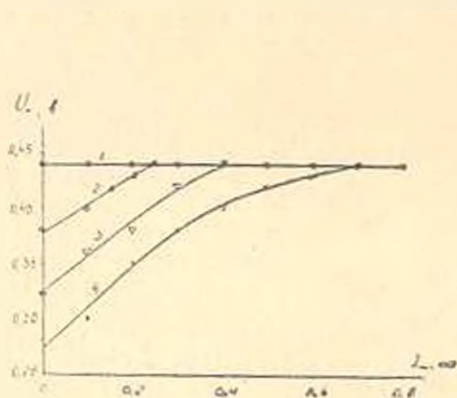


Рис. 3. Зависимость выходного сигнала при фотоэлектрическом считывании от переменного тока с  $f = 100$  цз, наложенного на ток управления: 1 —  $I_{y-} = 0$ ;  $-I_{y-} = 0,05$  мз; 3 —  $I_{y-} = 0,1$  мз; 4 —  $I_{y-} = 0,15$  мз

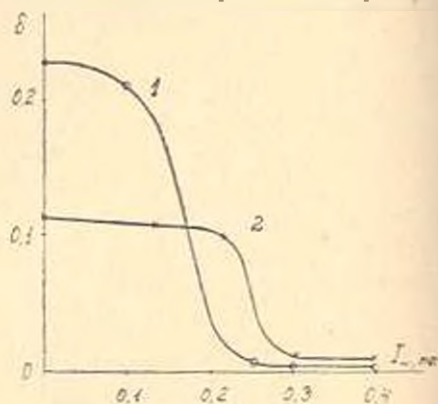


Рис. 4. Зависимость погрешности от значения переменного тока с  $f = 100$  цз, наложенного на ток управления ( $I_{y-} = 0,15$  мз): 1 — при  $I_0 - I_n = 0,24$  мз; 2 — при  $I_0 - I_n = 0,31$  мз

тоэлектрическом считывании от наложенного на ток управления переменного тока. Кривые сняты при заданных, практически неизменных, объемах ртутных электродов, при анодной поляризации экранирующего световой поток электрода. Прямая 1 на рисунке соответствует случаю, когда постоянный ток управления равен нулю. Как видно, чем больше ток управления (и тем, следовательно, сильнее деформация мениска и толще прианодный цветной слой), тем больше требуется переменный ток для устранения концентрационной погрешности. Аналогич-

ный результат наблюдается при катодной поляризации экранирующего электрода.

Наибольший эффект достигается при низких частотах, а затем с ростом частоты требуется все больший переменный ток, что связано с увеличением затухания концентрационной волны при увеличении частоты (см., напр. [6]).

Уменьшение концентрационной погрешности с ростом амплитуды переменного тока низкой частоты наглядно видно из экспериментальных кривых рис. 4. Здесь характерно наличие зон быстрого спада погрешности при достижении определенных областей значения  $I_{ac}$ , что и определяет выбор амплитуды компенсирующего тока.

Институт проблем управления  
(автоматики и телемеханики) АН СССР

Поступило 12.III.1970.

Ե. Վ. ՂԱԶԱՐՅԱՆ, Ա. Պ. ՇՈՐՅԻՆ

ՅՈՏՈՒԼԵԿՏՐԱԿԱՆ ՀԱՇՎՈՒՄԻ ՍԵՒԻՍԱ-ԷԼԵԿՏՐՈՒՏԱՅԻՆ ԿԱՊԻՅԱՐ ԿԵՐՊԱ-  
ՓՈՆԵՉՆԵՐԻ ԿՈՆՑԵՆՏՐԱՅԻՈՆ ՍԵԱՂԱՆՔՆԵՐԻ ՈՒՍՈՒՄՆԱԽԻՈՒԹՅՈՒՆ

Ա մ փ ո փ ո Վ մ

Հարգանքով ուսումնասիրված են այն գործոնները, որոնք բնորոշում են էլեկտրափոխիչների «կոնցենտրացիոն» սխալանքները՝ պայմանավորված կառավարող հոսանքի անցման ժամանակ կապիլյարում էլեկտրոլիտի կոմպոնենտների խտության բաշխման փոփոխությամբ:

#### Л И Т Е Р А Т У Р А

1. Шорыгин А. П. Электрохимические элементы: основные особенности и классификация. ЭИКА, вып. 8, «Энергия», 1967.
2. Боровков В. С., Графов Б. М., Новиков А. А., Ноницкий М. А., Соколов Л. А. Электрохимические преобразователи информации. Изд. «Наука», 1966.
3. Kiryluk W. Process Control and Automation. 11, 9 (1964), No 1.
4. Veusman C. C. IEEE Intern. Conv. Record Pt. 8, 171 (1964), March.
5. Балашиха А. Н., Урманчиев А. М., Шорыгин А. П. «Электрохимия», 5, 699 (1969), № 6.
6. Феттер К. Электрохимическая кинетика. Изд. «Химия», 1967.

ИЗМЕРИТЕЛЬНАЯ ТЕХНИКА

А. Г. ГУКАСЯН, М. А. КАРАПЕТЯН, В. С. СИМОНЯН

ПОГРЕШНОСТИ  $L-C$  ИЗМЕРИТЕЛЬНЫХ ЦЕПЕЙ

В [1-3] предложены две измерительные цепи (рис. 1), которые в дальнейшем для краткости будут названы  $L-C-1$  и  $L-C-11$  цепями. В указанных работах приведен качественный анализ систематических методических погрешностей измерений при условии применения генератора со стабилизированным выходным напряжением фиксированной частоты. В настоящей статье изложены результаты количественного анализа методических погрешностей  $L-C$  цепей, вызванных пренебрежением потерей энергии в образцовой катушке и нестабильностью частоты генератора.

Фаза выходного напряжения  $U_2$  (рис. 1, а) без учета сопротивления  $r_0$  при фиксированной частоте генератора равна:

$$\psi_2 = \arctg \frac{x_2}{r_2} = \arctg (\operatorname{tg} \psi_r) = \psi_r, \quad (1)$$

т. е. углу потерь испытуемого образца. С учетом сопротивления  $r_0$  и нестабильности частоты генератора фаза и модуль напряжения  $U_2$  определяются из выражений:

$$\psi_2' = \arctg \frac{\operatorname{tg} \psi_r + \frac{a(1-b)}{(1+a^2)(1 \pm b)}}{1 + \frac{1}{m} - \frac{1-b}{(1+a^2)(1 \pm b)}}; \quad (2)$$

$$U_2 = \frac{mU_1}{\sqrt{\left| (1+m)(1+a^2) - m \frac{1-b}{1 \pm b} \right|^2 + \left| (1+a^2) \operatorname{tg} \psi_r + am + \frac{1-b}{1 \pm b} \right|^2}}, \quad (3)$$

где  $m = C_0/C_1$ ;  $a = 1/Q_{k0}$ ;  $Q_{k0}$  — добротность образцовой катушки;  $b = \Delta f/f$ .

Для вывода формул (2) и (3) принято, что при малых колебаниях частоты генератора  $f = f_0 \pm \Delta f$ :  $C_1$  и  $\operatorname{tg} \psi_r$  испытуемого образца остаются постоянными; сопротивления образцовых элементов изменяются согласно выражениям  $x_l = x_0 \pm \Delta x_l$  и  $x_c = x_0 - \Delta x_c$ ; имеют место равенства  $\Delta x_l = b x_0 = \Delta x_c$ . Абсолютная погрешность измерения угла по-

терь  $\Delta \delta$  испытуемого образца, вызванная эквивалентным активным сопротивлением катушки  $r_0$  и нестабильностью частоты генератора на  $\pm \Delta f$ , определится разностью

$$\Delta \delta = \psi_2 - \delta_x. \quad (4)$$

С целью оценки частотной методической погрешности измерительной цепи нестабильность частоты примем равной  $\pm 1\%$ , хотя, в действительности, величина нестабильности частоты предопределяется типом использованного генератора. Результаты подсчета погрешностей  $\Delta \delta$  при  $b = \pm 0,01$  и различных значениях  $m$  и  $\alpha$  приведены в табл. 1; причем, верхние цифры соответствуют положительному значению  $b$ , нижние — отрицательному.

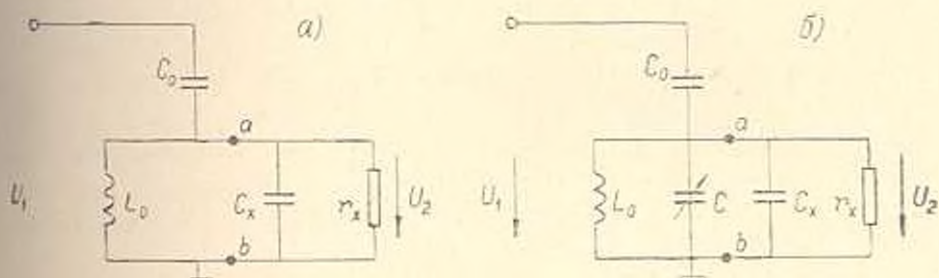


Рис. 1. Схемы измерительных цепей: а) — L-C-I; б) — L-C-II

При пользовании прибором с измерительной цепью L-C-I искомая емкость испытуемого образца пересчитывается по формуле:

$$C_x = \frac{U_1 C_0}{U_2 \sqrt{1 + \operatorname{tg}^2 \delta_1}}, \quad (5)$$

полученной при пренебрежении сопротивлением  $r_0$  и фиксированной частоте  $f_0$ . В действительности измеряется емкость

$$C_x = \frac{U_1}{U_2} \frac{C_0}{\sqrt{1 + \operatorname{tg}^2 \delta_1}}. \quad (6)$$

Погрешность измерения емкости в процентах определяется из выражения:

$$\varepsilon_{\%} = \frac{C_x - C_x}{C_x} \cdot 100\% = \left\{ \frac{U_2}{U_1} \sqrt{\frac{1 + \operatorname{tg}^2 \delta_1}{1 + \operatorname{tg}^2 \delta_1}} - 1 \right\} \cdot 100\%. \quad (7)$$

Результаты подсчета погрешностей  $\varepsilon_{\%}$ , вызванных сопротивлением  $r_0$  и нестабильностью частоты, при  $b = \pm 0,01$  и различных значениях  $m$  и  $\alpha$  приведены в табл. 1. Величины погрешностей, вызванных только нестабильностью частоты в идеализированной цепи ( $r_0 = 0$ ,  $\alpha = 0$ ), приведены в последних четырех строках таблицы.

Таблица 1

$\alpha$	$\operatorname{tg} \delta$	$m=0,01$			$m=0,1$			$m=1$		
		0,1	1,0	10	0,1	1,0	10	0,1	1,0	10
0,100	$\Delta \delta$	+3'	+1'10"	-4"	+30'	+11'30"	-40"	+5'7'20"	+1'0'50"	-6'
	$\varepsilon_c \text{ ‰}$	+3'20"	+1'20"	+4"	+34'40"	+14'50"	+39"	+5'45'20"	+3'2'	+6'39"
0,010	$\Delta \delta$	-0,010	-0,050	-0,0200	-0,01	-0,40	-0,100	-0,50	-4,45	-0,97
	$\varepsilon_c \text{ ‰}$	-0,040	-0,070	-0,0100	-0,40	-0,60	-0,100	-4,00	-5,00	-1,00
0,002	$\Delta \delta$	+12"	-10"	+20"	+2'35"	-2"	-20"	+24"	-18'30"	-16'26"
	$\varepsilon_c \text{ ‰}$	+25"	+30"	+4"	+4"	+5'10"	+39"	+42"	+52'5"	+6'59"
0	$\Delta \delta$	-0,020	-0,012	-0,0100	-0,20	-0,15	-0,100	-0,20	-2,50	-0,13
	$\varepsilon_c \text{ ‰}$	+0,019	+0,005	-0,0010	+0,19	+0,05	-0,010	+1,90	+0,50	-0,10
0,002	$\Delta \delta$	0	-10"	-4"	0	-3'	-41"	-10"	-47'40"	-7'19"
	$\varepsilon_c \text{ ‰}$	+8'	+4"	+20"	+1'20"	+3'40"	+39"	+14"	+38'10"	+6'49"
0	$\Delta \delta$	-0,020	-0,010	-0,0010	-0,20	-0,10	-0,006	-1,90	-1,08	-0,04
	$\varepsilon_c \text{ ‰}$	+0,020	+0,010	+0,0002	+0,20	+0,09	+0,001	+2,00	+0,90	+0,01
0	$\Delta \delta$	0	-8"	-21"	-40"	-3'30"	-41"	-6'40"	-30'	-6'46"
	$\varepsilon_c \text{ ‰}$	+4"	+20"	+5"	+20"	+2'30"	+39"	+6'44"	+34'40"	+6'44"
0	$\Delta \delta$	-0,020	-0,010	-0,0002	-0,20	-0,10	-0,002	-1,90	-1,00	-0,02
	$\varepsilon_c \text{ ‰}$	+0,020	+0,010	+0,0002	+0,20	+0,10	+0,002	+2,00	+1,00	+0,02

Для определения систематических методических погрешностей измерений  $\delta_x$  и  $C_x$ , обусловленных только пренебрежением сопротивлением  $r_0$ , необходимо в выражениях  $\psi_2^*$  и  $U_2^*$  подставить  $b = 0$  и воспользоваться формулами (4) и (7).

Рассмотрение табл. 1 приводит к выводу, что при  $m < 1$  и  $a < 0,01$  предложенная измерительная цепь может быть с успехом применена для измерений угла потерь и емкостей, особенно, при малых добротностях испытываемых материалов.

Условие  $a \leq 0,01$  удается осуществить при повышенных и высоких частотах. При частоте 50  $\mu\mu$  добротность L—C контура получается не лучше десяти. Из табл. 1 следует, что при этом должно быть соблюдено условие  $m \leq 0,1$ . Если питание схемы осуществить из асимметрической сети, где частота колеблется только на  $\pm 0,4\%$ , то погрешности будут значительно меньше данных табл. 1.

Перейдем к анализу цепи L—C—II. Если емкости  $C$  и  $C_1$  объединить в одну  $C_1 = C + C_1$ , то цепь рис. 1, б совпадает с цепью рис. 1, а для случая  $\operatorname{tg} \delta_r = 1$ . Следовательно, величина  $\Delta \delta$  может быть определена по выражению (4) при  $\operatorname{tg} \delta_r = 1$  (см. табл. 1). Погрешность  $\pm \Delta$  приведет к ложной индикации фазы  $45^\circ$ , тогда, как действительная фаза

$$\psi_2^* = 45^\circ \mp \Delta \delta.$$

При этом

$$\frac{x^*}{r_1} = \operatorname{tg} (45^\circ \mp \Delta \delta). \quad (8)$$

Это приводит к погрешности измерения  $C_2$  и  $r_2$ . Так как величина емкости  $C_1$  при малой нестабильности частоты остается постоянной, то погрешность измерения  $C_1$  обуславливается неточной настройкой переменной емкости  $C$ . Следовательно, абсолютная погрешность измерения  $C_1$  равняется абсолютной погрешности установления  $C$ , т. е.  $\Delta C_1 = \pm \Delta C$ , и искомая емкость

$$C_r = C_2 - C' = C_2 \pm \Delta C_2 - (C \pm \Delta C) = C_2 - C \quad (9)$$

определяется без погрешностей.

Для определения погрешности измерения  $r_2$  воспользуемся формулой

$$U_2 = \frac{U_1 r_2 x}{x_0 | r_1^2 + x^2 |}. \quad (10)$$

взятой из [3].

В условиях нестабильности частоты и при наличии сопротивления  $r_0$  величины  $U_2$  и сопротивлений, входящих в (10), изменяются. Совместным решением (8) и (10) находим формулу  $r_2$  и относительную погрешность его измерения:

$$\varepsilon_r \% = \left\{ 1 - \frac{U_2 \sqrt{2}}{U_2} \cdot \frac{\operatorname{tg}(45^\circ \pm \Delta\delta)}{1 - \operatorname{tg}^2(45^\circ \pm \Delta\delta)} \right\} \cdot 100 \% \quad (11)$$

Результаты подсчета погрешностей измерения  $\varepsilon_r$  приведены в табл. 2, причем значения  $\Delta\delta$  взяты из табл. 1 (при  $\operatorname{tg} \delta = 1$ ).

Таблица 2

$a$	$m = 0,01$	$m = 0,1$	$m = 1$
0,100	-0,0679	-0,681	-3,879
	-0,0790	-0,882	-10,6906
0,010	+0,0300	+0,0971	-1,9957
	-0,02599	-0,0994	-2,0266
0,002	+0,0120	+0,1241	+0,3044
	-0,0220	+0,007427	+2,1812
0	-0,0070	-0,012388	-0,0781
	0,0210	+0,0353	+2,3812

На основании формулы [3]

$$\operatorname{tg} \delta_x = 1 + \beta = 1 + \frac{C}{C_x} \quad (12)$$

можно найти выражение для подсчета погрешностей измерения  $\operatorname{tg} \delta_x$ .

При учете нестабильности частоты и сопротивления  $r_0$  тангенса фазы вторичного напряжения можно записать следующим образом:

$$\operatorname{tg} \delta_x = 1 + \frac{C - \Delta C}{C_x} \quad (13)$$

Следовательно, погрешность измерения  $\operatorname{tg} \delta_x$  определится из выражения:

$$\varepsilon_{\operatorname{tg} \delta_x} \% = \frac{\operatorname{tg} \delta_x - \operatorname{tg} \delta_{x0}}{\operatorname{tg} \delta_{x0}} \cdot 100 \% = \frac{\Delta C}{C_x} \cdot 100 \% \quad (14)$$

Нетрудно убедиться, что (14) совпадает с (7), если в последней подставить  $\operatorname{tg} \delta_x = 1$ . Это значит, что результаты расчета погрешностей измерения  $C_x$  схемой  $L-C-I$ , приведенные в табл. 1 (в столбцах при  $\operatorname{tg} \delta = 1$ ), являются также погрешностями измерения  $\operatorname{tg} \delta_x$  схемой  $L-C-II$ .

Вышеизложенное дает основание утверждать, что приборы, но пользующие предложенные нами  $L-C$  измерительные цепи, могут быть с успехом применены для измерения или контроля величин емкости и угла потерь диэлектриков низкой добротности.

Ն. Պ. ՉԱՓԱՐԱՐԱՆ, Մ. Ս. ՍԻՄՈՆՅԱՆ, Վ. Ս. ՍԻՄՈՆՅԱՆ

L—C ՉԱՓԻՉ ՆՂԹԱՆԵՐԻ ՍԵԱՎԱՆՔՆԵՐԸ

Ա Մ Փ Ո Փ Ո Ւ Մ

Կատարված է L—C շափիչ շղթաների մեթոդական սխալանքների բանա-  
կական անալիզ, որոնք առաջանում են նմուշային կոնտակտների անհարմար-  
անքի և զիններատորի ճաճախութեան անկայունութիւնն աքնարարելիս:

Л И Т Е Р А Т У Р А

1. Կարապետյան Մ. Ա. Метод измерения емкостей конденсаторов низкой добротности. „Электричество“, № 8, 1968.
2. Կարապետյան Մ. Ա., Սիմոնյան Յ. Ս., Գուգասյան Ա. Գ. Метод непрерывного измерения угла потерь конденсаторов. „Известия АН Арм. ССР (серия Т. Н.)“. т. XXIII, № 1, 1970.
3. Կարապետյան Մ. Ա., Սիմոնյան Յ. Ս. Измерение емкости и тангенса угла потерь диэлектриков с низкой добротностью. „Электричество“, № 10, 1969.

А. М. АРАКЕЛЯН

ТЕНЗОР НАТЯЖЕНИЙ, ОБУСЛОВЛЕННЫЙ МАГНИТНЫМ  
ИЛИ ЭЛЕКТРИЧЕСКИМ ПОЛЕМ В НЕОДНОРОДНОЙ СРЕДЕ  
С ПРОИЗВОЛЬНЫМИ НЕЛИНЕЙНЫМИ ХАРАКТЕРИСТИКАМИ

## 1. Используемый метод определения сил натяжений

Известно, что электрическое и магнитное поля вызывают поперечные силы в телах, введенных в эти поля. В тех случаях, когда поперечные силы могут быть сведены к натяжениям, действующим на поверхности, эти натяжения можно рассмотреть при помощи сил, действующих на границе раздела двух сред различных параметров. Согласно Максвеллу в трубке индукции действует гидростатическое давление. В окрестностях каждой выбранной точки трубки это давление одинаково во всех направлениях. Кроме того, трубки индукции испытывают продольное растяжение. Если отдельно рассмотреть вырезанный из трубки индукции элемент объема, образующий которого совпадают с линиями индукции, а основания перпендикулярны этим линиям, то в случае достаточно малого объема можно считать, что единица поверхности, ограничивающей рассматриваемый объем, в любой своей части испытывает одинаковое гидростатическое давление изнутри наружу. Кроме того, основания рассматриваемого объема испытывают растяжения, направленные перпендикулярно их поверхностям во внутрь. Если рассматриваемый объем граничит с другим элементарным объемом и эта граница совпадает с поверхностью трубки индукции, то сила, действующая на единицу поверхности границы, представляет разность гидростатических давлений, действующих в граничащих элементах (средах). Если же рассматриваемые объемы граничат по торцам, перпендикулярным линиям поля, то сила, действующая на единицу поверхности раздела, представит разность двух величин. Каждая из этих величин равняется разности растяжения и давления в соответствующей среде.

Рассмотрим две предельные задачи, когда среда состоит из двух областей различных нелинейных параметров и линии индукции поля в одном случае *перпендикулярны*, а в другом случае *совпадают* с границей раздела этих двух сред. Возьмем тороидальную катушку, со-

противление обмотки которой равно нулю (скажем, благодаря глубокому охлаждению). Обмотка замкнута сама на себя. Ток, протекающий через обмотку, благодаря отсутствию сопротивления, может циркулировать долго, не требуя стороннего источника для своего поддержания. Вся энергия заключена в катушке в виде энергии магнитного поля. Примем, что радиус сечения катушки очень мал по сравнению со средним радиусом самого тороида. В ниже рассматриваемых задачах это позволяет в каждой среде поле считать однородным.

2. Определение давлений в общем случае произвольной нелинейности параметров сред (первая предельная задача)

Пусть тороид содержит сердечник из материала с нелинейной магнитной характеристикой. Сердечник по всей длине имеет соосно расположенный паз постоянного круглого сечения, заполненный другим материалом, также обладающим нелинейной магнитной характеристикой, отличной от характеристики первой среды (рис. 1, а). В этой

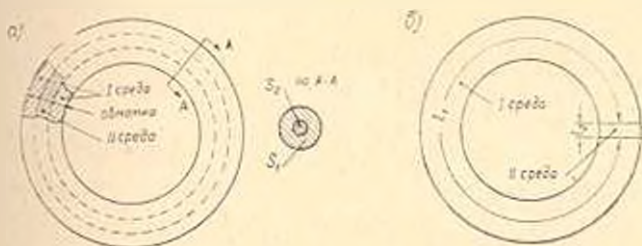


Рис. 1.

задаче граница раздела сред будет совпадать с границей одной из трубок индукции. В обеих средах напряженности магнитного поля равны. Средние длины обоих сердечников одинаковы и равны  $l$ . Общее сечение катушки  $s$ . Сечения первой и второй сред соответственно равны  $s_1$  и  $s_2$ . Поле в каждой среде однородно. Пусть магнитные характеристики сред имеют вид, приведенный на рис. 2. Энергия в единице объема каждой из сред соответственно равна\*:

$$w_1 = \int_0^{H_1} H dB_1, \quad w_2 = \int_0^{H_2} H dB_2. \quad (1)$$

Полная энергия, ввиду однородности поля каждой из сред, равна:

$$W = l(s_1 w_1 + s_2 w_2). \quad (2)$$

Придадим малое приращение  $\Delta s$  сечению первой среды за счет сечения второй среды:

\* На рис. 2 этим энергиям соответствуют площади:  $w_1 \sim \text{Обем} O$ ;  $w_2 \sim \text{Обем} O'$

$$s_1 = s_1 + \Delta s; \quad s_2 = s_2 - \Delta s. \quad (3)$$

При этом изменится индуктивность катушки и в ее обмотке наведется э. д. с., которая изменит ток таким образом, чтобы сохранить магнитный поток неизменным. Так как обмотка не имеет сопротивления, в ней не будет потрачено никакой энергии. Таким образом, приращение энергии магнитного поля по величине будет равно произведенной работе перемещения границы раздела двух сред. Благодаря изменению

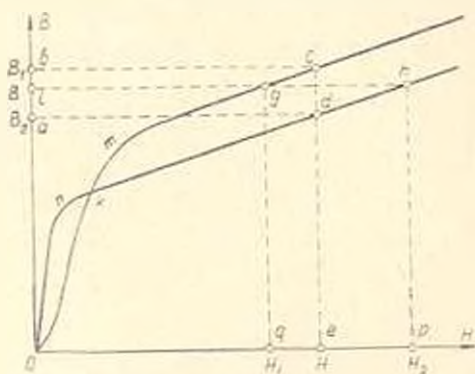


Рис. 2.

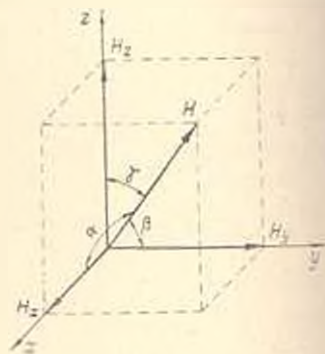


Рис. 3.

тока обмотки изменится напряженность магнитного поля, вследствие чего изменится и энергия в единице объема каждой среды. Поскольку изменение  $\Delta s$  очень мало, малым будет и изменение напряженности  $\Delta H = H' - H$ . Малому изменению напряженности будет соответствовать малое изменение магнитной индукции:

$$\Delta B_1 = \Delta H \mu_1; \quad \Delta B_2 = \Delta H \mu_2$$

где  $\mu_1$  и  $\mu_2$  в пределе представляют соответствующие динамические проницаемости рассматриваемых сред при напряженности  $H$ .

Приращение энергии в единице объема каждой среды будет:

$$\Delta w_1 = \frac{(H')^2 - (H)^2}{2} \mu_1; \quad \Delta w_2 = \frac{(H')^2 - (H)^2}{2} \mu_2. \quad (4)$$

Тогда, имея ввиду (3) и (4), полная энергия будет\*:

$$W' = l(s_1 w_1 + s_2 w_2) + l(s_1 \Delta w_1 + s_2 \Delta w_2) + l \Delta s (w_1 - w_2). \quad (5)$$

Учитывая равенство

$$\frac{(H')^2 - (H)^2}{2} = H \frac{B_2 - B_1}{\mu_1 s_1 + \mu_2 s_2 + \Delta s (\mu_1 - \mu_2)},$$

из (5), (2) и (4) найдем общее приращение энергии:

$$\Delta W = \Delta s l [(B_1 - B_2) H + (w_2 - w_1)]. \quad (6)$$

\* Член  $l \Delta s (\Delta w_1 - \Delta w_2)$  отброшен как малая величина второго порядка.

Сила, действующая на единицу поверхности раздела сред, будет:

$$f = \lim_{\Delta l \rightarrow 0} \frac{-\Delta W}{\Delta S} = (B_1 - B_2)H + (w_2 - w_1) = (B_1H - w_1) - (B_2H - w_2).$$

Учитывая (1), получим:

$$f = \left( B_1H - \int_0^{B_1} H dB_1 \right) - \left( B_2H - \int_0^{B_2} H dB_2 \right), \quad (7)$$

откуда

$$f = \int_0^H B_1 dH - \int_0^H B_2 dH = \int_0^H (B_1 - B_2) dH. \quad (8)$$

Каждому члену соответствует в принятом масштабе площадь на рис. 2:

$$\int_0^H B_1 dH \sim OmceO; \quad \int_0^H B_2 dH \sim OndeO.$$

Сила, действующей на единицу поверхности раздела, соответствует в том же масштабе поверхность

$$f \sim (kmcdk - OnkmO).$$

Легко показать, что гидростатическое давление в каждой среде выражается интегралом:

$$P_1 = \int_0^{H_1} B_1 dH_1; \quad P_2 = \int_0^{H_2} B_2 dH_2. \quad (9)$$

Действительно, если магнитную проницаемость одной из сред (например, второй) считать не зависящей от величины поля, то выражение удельной силы примет вид:

$$f = \int_0^H B_1 dH - \frac{B_2 H_2}{2}.$$

Но  $B_2 H_2 / 2$ , как известно, представляет собой гидростатическое давление в среде с линейной магнитной характеристикой. Согласно Максвеллу, в рассмотренном случае удельная сила равна разности гидростатических давлений по обе стороны границы. Отсюда получается, что в первой среде гидростатическое давление равно  $\int_0^H B_1 dH$ . Точно также может быть доказана правильность (9) для второй среды.

Таким образом, в общем случае гидростатическое давление в среде с произвольной магнитной характеристикой выражается формулой:

$$P_z = \int_0^H B dH. \quad (10)$$

### 3. Определение продольных растяжений в общем случае произвольной нелинейности параметров (вторая предельная задача)

Пусть тороид содержит сердечник из материала с нелинейной магнитной характеристикой. В сердечнике прорезан тонкий поперечный паз, заполненный другим материалом, также обладающим нелинейной магнитной характеристикой, отличной от характеристики первой среды (рис. 1, б). В этой задаче граница раздела сред будет перпендикулярна линиям индукции поля. Средняя длина катушки  $l$ , длина сердечника из первого материала  $l_1$ , из второго материала —  $l_2$ . Сечение везде постоянно и равно  $s$ . Магнитные характеристики материалов примем такими же, как в первой задаче (рис. 2). Магнитная индукция в обеих средах одинакова. Напряженности магнитного поля в этих средах отличны друг от друга. Энергия единицы объема каждой из сред выражается формулой (1), на рис. 2 в выбранном масштабе им соответствуют площади:

$$w_1 \sim OigmO; \quad w_2 \sim OihnO.$$

Общая энергия будет:

$$W = s (l_1 w_1 + l_2 w_2). \quad (11)$$

Придадим длине первого сердечника приращение  $\Delta l$  за счет длины второго сердечника. Изменится индуктивность катушки и в обмотках наведется э. д. с., изменяющая ток таким образом, чтобы сохранить магнитный поток прежним. Благодаря постоянству магнитного потока и сечения сердечников, магнитная индукция не изменится. Следовательно, не изменятся и напряженности в каждой из сред, хотя общая м. д. с. и ее распределение на сердечниках изменится. Так как магнитная индукция и напряженность магнитного поля сохраняют свою величину, то величина энергии единицы объема каждой из сред останется неизменной. Благодаря изменению объема каждого сердечника, изменяется общая энергия:

$$W = s (l_1 w_1 + l_2 w_2) + s \Delta l (w_1 - w_2), \quad (12)$$

так как

$$l = l_1 + \Delta l \quad \text{и} \quad l_2 = l - \Delta l.$$

Из (11) и (12) находим:

$$\Delta W = -s \Delta l (w_2 - w_1).$$

Сила, действующая на единицу поверхности раздела сред, будет:

$$f = \lim_{\Delta l \rightarrow 0} \frac{-\Delta W}{S \Delta l} = \omega_2 - \omega_1.$$

Используя выражение (1), получим:

$$f = \int_0^{H_2} H_2 dB_2 - \int_0^{H_1} H_1 dB_1. \quad (13)$$

На рис. 2 эта сила в выбранном масштабе отражается площадью:

$$f \sim (kmahk - Onkmo).$$

Согласно Максвеллу, эта удельная сила может быть выражена разностью:

$$f = (P_{r_2} - P_{g_2}) - (P_{r_1} - P_{g_1}), \quad (14)$$

где  $P_{r_1}$  и  $P_{r_2}$  — соответственно продольные растяжения в первой и во второй средах;

$P_{g_1}$  и  $P_{g_2}$  — соответствующие гидростатические давления.

Подставляя в (14) значения (9) и (13), найдем:

$$P_{r_2} - P_{r_1} = \left( \int_0^{B_2} H_2 dB_2 + \int_0^{H_2} B_2 dH_2 \right) - \left( \int_0^{B_1} H_1 dB_1 + \int_0^{H_1} B_1 dH_1 \right) = \\ = B_2 H_2 - B_1 H_1.$$

Попеременно принимая параметр каждой среды не записывая от величины поля, легко найти, что

$$P_{r_2} - B_2 H_2 = P_{r_1} - B_1 H_1. \quad (15)$$

Точно такой же результат получается при линейных параметрах сред.

Таким образом, в общем случае силы растяжения в среде с произвольной магнитной характеристикой выражаются формулой:

$$P_r = BH. \quad (16)$$

#### 4. Определение тензора натяжений для общего случая произвольной нелинейности параметров сред

Выше было показано, что в общем случае произвольного нелинейного параметра среды растяжение выражается формулой (16), а гидростатическое давление — формулой (10). Их совокупность определяет натяжения, действующие на поверхность. Выберем произвольную точку в одной из сред в какой-либо рассмотренной задаче. Примем выбранную точку за начало координат и произвольно сориентируем взаимно перпендикулярные оси  $x$ ,  $y$ ,  $z$ .

Пусть вектор напряженности (индукции) магнитного поля в этой

точке с осями  $x, y, z$  соответственно составит углы  $\alpha, \beta, \gamma$  (рис. 3). Определим компоненты тензора натяжений:

$$\begin{aligned} T_x &= iT_{xx} + jT_{yx} + kT_{zx}, \\ T_y &= iT_{xy} + jT_{yy} + kT_{zy}, \\ T_z &= iT_{xz} + jT_{yz} + kT_{zz}. \end{aligned} \quad (17)$$

Для определения  $T_x$  возьмем единичную площадку и направим ее нормально по оси  $x$ . Тогда нормаль составит с вектором напряженности магнитного поля, следовательно, и с направлением растяжения, угол  $\alpha$ . Воспользуемся методом Сирля. Поперечное сечение трубки индукции, опирающейся на выбранную единичную площадку, будет равно  $1 \cdot \cos \alpha$ . Следовательно, растяжение, действующее на рассматриваемую площадку будет равно  $P_p \cos \alpha$ . Составляющие этого растяжения по осям  $x, y, z$  соответственно будут:

$$\begin{aligned} P_p \cdot \cos^2 \alpha, \\ P_p \cdot \cos \alpha \cdot \cos \beta, \\ P_p \cdot \cos \alpha \cdot \cos \gamma. \end{aligned} \quad (18)$$

Гидростатическое давление на площадку будет действовать по направлению нормали, так как по другим направлениям оно уравновешивает-

ся. Величина этого давления равна  $\int_0^H B dH$ .

Таким образом, составляющие  $T_x$  будут равны<sup>\*</sup>:

$$\begin{aligned} T_{xx} &= HB \cos^2 \alpha - \int_0^H B dH - H_x B_x = \mu_{ст} H^2 - \int_0^H B dH, \\ T_{xy} &= HB \cos \alpha \cdot \cos \beta = H_x B_y = \mu_{ст} H_x H_y, \\ T_{xz} &= HB \cos \alpha \cdot \cos \gamma = H_x B_z = \mu_{ст} H_x H_z. \end{aligned} \quad (19)$$

Точно таким же образом определяются составляющие  $T_y$  и  $T_z$  соответственным направлением нормали единичной площадки по оси  $y$  и  $z$ .

Таким образом тензор натяжений имеет вид:

$$T = \begin{vmatrix} \mu_{ст} H_x^2 - \int_0^H B dH & \mu_{ст} H_x H_y & \mu_{ст} H_x H_z \\ \mu_{ст} H_x H_y & \mu_{ст} H_y^2 - \int_0^H B dH & \mu_{ст} H_y H_z \\ \mu_{ст} H_x H_z & \mu_{ст} H_y H_z & \mu_{ст} H_z^2 - \int_0^H B dH \end{vmatrix} \quad (20)$$

\* Здесь  $\mu_{ст}$  представляет статическую магнитную проницаемость.

Как видно, полученный тензор симметричен относительно главной диагонали. Следовательно, и в общем случае произвольных нелинейных параметров поидеромоторные силы можно привести к натяжениям, действующим на поверхность.

Заметим, что в случае линейности параметров среды полученный тензор принимает вид максвелловского тензора, который можно рассматривать как частный случай полученного тензора.

Следует отметить, что выведенный тензор, также как и тензор Максвелла, не отражает полностью все силы, обусловленные магнитным или электрическим полем, так как этот тензор не отражает стрикционные натяжения. Тем не менее для определения общей силы, действующей на рассматриваемое тело, указанный тензор достаточен, так как согласно [1] сила, обусловленная стрикционным тензором, интегральна или равна нулю (если исследуемое тело находится в вакууме) или уравнивается соответствующим тензором окружающей среды (если система тел находится в равновесии).

**Выводы.** Получен тензор натяжений для наиболее общего случая произвольных нелинейных характеристик среды. Показано, что под воздействием магнитного поля возникают не только силы, пропорциональные  $\int HdB$ , но и силы, пропорциональные  $\int BdH$ . Все полученные формулы полностью удовлетворяют случаю электрического поля при соответствующей замене  $\mu$  и  $H$  на  $\epsilon$  и  $E$ .

АриНИИЭ

Поступило 8.II.1968.

Ա. Մ. ԱՆՈՔՅԱՆ

ԿԱՐԱՅՈՒԿԱՆ ՈՉ-ԿՈԱՅԻՆ ԲՆՈՒԹԱԳՐԵՐ ՈՐՆՅՈՎ ԱՆՇԱՐԱՍԻՆ ՄԻՋԱՎԱՅ-  
ՐՈՒՄ ՄԱԳՆԻՍԱԿԱՆ ԿԱՍ ԷԼԵԿՏՐԱԿԱՆ ԴԱՇՏՈՎ ԳԱՅՄԱՆԱՎՈՐԱՑ  
ԱՐԻՆԻՄՆԵՐԻ ՏՆՆՋՈՐԸ

Ա. մ. փ. ո. փ. ո. ռ. մ.

Նյութերի մեզ մագնիսական կամ էլեկտրական դաշտի առկայության դեպքում առաջ են գալիս պոնդերոմոտոր ուժեր, որոնց կարելի է ներկայացնել մեխանիկական լարումների (ձգումների) տենզորի միջոցով՝ երբ նյութերի մագնիսական կամ էլեկտրական բնութագրերը գծային են. այսինքն՝ երբ երանց մագնիսական կամ էլեկտրական բախանցելիության մեծությունը կախված չէ դաշտի խտությունից: Հոգովածում ցույց է տրված, որ դա հնարավոր է նաև նյութերի բնութագրերի կամայական ոչ-գծայնության դեպքում: Այդ բնու-հանուց դեպքի համար ստացված է մեխանիկական լարումների տենզորի աբաճայառությունը, որից, որպես մասնավոր դեպք, բխում է նրա հայտնի տեսը:

Л И Т Е Р А Т У Р А

1. Тамм И. Е. Основы теории электричества. Гос. изд. технико-теоретической литературы, М., 1956.

Г. А. АЙРАПЕТЯН, Г. А. НАЛЧАДЖЯН

### РАСЧЕТ НА ЭЦВМ РЕЖИМА РАБОТЫ ЯВНОПОЛЮСНОГО СИНХРОННОГО ДВИГАТЕЛЯ ПРИ ЗНАЧИТЕЛЬНЫХ КОЛЕБАНИЯХ НАПРЯЖЕНИЯ И ЧАСТОТЫ В ЭНЕРГОСИСТЕМЕ

Режимы и законы регулирования синхронных двигателей, расположенных в различных узлах энергосистемы и работающих параллельно с остальной нагрузкой, должны определяться не только условиями работы данного узла, но и требованиями режима энергосистемы в целом. Параметрами, определяющими режим энергосистемы, являются частота  $f$ , напряжение узла  $U$  и их производные.

Исследования, с целью выявления оптимальных режимов работы синхронных двигателей, а также их размещения, должны выполняться в комплексе с исследованием режима энергосистемы, что возможно только на современных ЭЦВМ. Отсюда возникает необходимость составления алгоритма и программы расчета на ЭЦВМ режима синхронного двигателя при различных заданных значениях частоты и напряжения с возможностью рассмотрения различных законов регулирования. При этом необходимо рассмотрение как неявнополюсных, так и явнополюсных машин, а также вопросов их эквивалентирования.

Настоящая статья посвящена составлению алгоритма и программы расчета режима явнополюсного синхронного двигателя при значительных колебаниях напряжения узлов и частоты в энергосистеме.

Программа составлена применительно к ЭЦВМ „Урал 3“ и, кроме самостоятельного значения, является составной частью общей программы исследования режимов энергосистемы, связанных с возникновением больших дефицитов мощности.

При холостом ходе синхронного двигателя а. д. с. статора равна  $E_0 = E_s$  и определяется только током холостого хода. Э. д. с.  $E_s$  при скорости вращения  $n_s$ , отличной от номинальной  $n_n$ , равна (в относительных единицах) [1]:

$$E_s = \frac{f^* x_{sd}}{x_{sdn}} \cdot \frac{I_a}{I_{a1}} = \frac{f^* k_d I_a'}{k_{d1}} \quad (1)$$

Здесь  $n/f^*$  — частота сети;  $I_a$  — ток возбуждения;  $I_{a1}$  — ток возбужде-



Угол нагрузки  $\delta$  определяется из  $\triangle OAB$  векторной диаграммы:

$$\operatorname{tg} \delta = \frac{Ifx_d \cos \varphi}{U - Ifx_d \sin \varphi}. \quad (5)$$

В формулах (2), (3), (4), (5) произведя подстановки:

$$I \sin \varphi = \frac{\alpha \sin \varphi_{11}}{U}; \quad I \cos \varphi = \frac{\beta \cos \varphi_{11}}{U};$$

$$I^2 = \frac{1}{U^2} (\beta^2 \cos^2 \varphi_{11} + \alpha^2 \sin^2 \varphi_{11})$$

(где  $\beta = \frac{P}{P_n}$ ,  $\alpha = \frac{Q}{Q_n}$  — относительные нагрузки статора соответственно по активной и реактивной мощностям), находим выражения (2), (3), (4) и (5) через активную и реактивную мощности статора:

$$E_0 = f(x_d - x_q) I_d + \sqrt{U^2 - 2fx_d \alpha \sin \varphi_{11} + \left(\frac{fx_d}{U}\right)^2 (\beta^2 \cos^2 \varphi_{11} + \alpha^2 \sin^2 \varphi_{11})}; \quad (6)$$

$$E_s = \sqrt{U^2 - 2fx_d \alpha \sin \varphi_{11} + \left(\frac{fx_d}{U}\right)^2 (\beta^2 \cos^2 \varphi_{11} + \alpha^2 \sin^2 \varphi_{11})}; \quad (7)$$

$$I_d = \frac{\alpha}{U} \sin \varphi_{11} \cos \delta + \frac{\beta}{U} \cos \varphi_{11} \sin \delta; \quad (8)$$

$$\operatorname{tg} \delta = \frac{fx_d \beta \cos \varphi_{11}}{U^2 - fx_d \alpha \sin \varphi_{11}}. \quad (9)$$

Приравняв уравнения (1) и (6), после решения относительно  $\alpha$  находим:

$$\alpha = \frac{\sqrt{\left| k_s U \frac{I_s}{K_{sn}} - U(x_d - x_q) I_d \right|^2 - (x_q \beta \cos \varphi_{11})^2}}{x_q \sin \varphi_{11}} - \frac{U^2}{f}, \quad (10)$$

где

$$x_d = k_s x_{d0} + x_c. \quad (11)$$

Необходимо заметить, что в работе принято допущение о независимости  $x_d$  от насыщения [3].

Нелинейная функция  $k_s = \varphi(E_s)$  может быть получена из характеристики холостого хода, которая одновременно представляет собой зависимость  $k_s = \varphi\left(\frac{E_s}{f}\right)$  при любой частоте и аппроксимирована в



$n_n = 600 \text{ об./мин.}$ ;  $\cos \varphi_n = 0,9$ ; ОКЗ = 0,9;  $x_s = 0,082$ ;  $x_d = 1,095$ ;  $x_q = 0,016$   
 Принимаем  $C = 1,2$ , следовательно,  $x_{\text{одн}} = 1,042$ .

По характеристике холостого хода синхронного двигателя строится характеристика  $k_n = \varphi(E_n)$  (рис. 3), которая аппроксимирована в виде трех прямых отрезков.

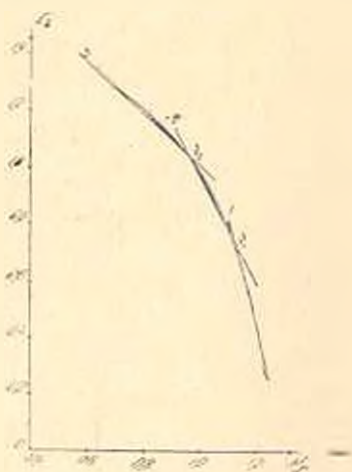


Рис. 3. Зависимость  $k_n = \varphi(E_n)$ .  $v_1$  и  $v_2$  — точки пересечения отрезков прямых

Коэффициенты отрезков равны:

$$a_1 = 1,296; a_2 = 1,51; a_3 = 2,15; b_1 = 0,232; b_2 = 0,51; b_3 = 1,13.$$

Коэффициент  $k_{n,1}$  определяется по номинальному режиму:  $k_{n,1} = 0,545$ .

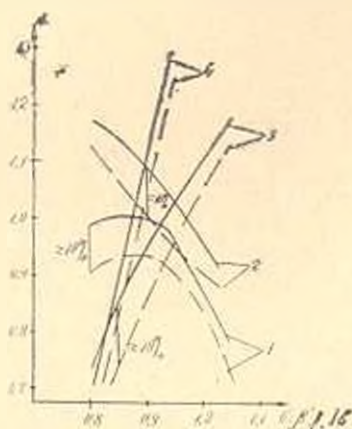


Рис. 4. Характеристики синхронного двигателя типа СДН—18—91—10. Сплошной линией указаны характеристики с учетом явнопольности, пунктирной — без учета явнопольности.

1 —  $\varphi(U)$  при  $\xi = 0,8$ ,  $I_b = 0,9$ ,  $f = 1$ ;

2 —  $\varphi(\xi)$  при  $U = 1,05$ ,  $I_b = f = 1$ ;

3 —  $\varphi(f)$  при  $U = 0,95$ ,  $I_b = \xi = 1$ ;

4 —  $\varphi(I_b)$  при  $U = 0,95$ ;  $f = \xi = 1$ .

Получены семейства кривых зависимости  $\gamma$  от  $U$ ,  $f$ ,  $\beta$  и  $I_h$  (некоторые из них приведены на рис. 4).

**Выводы.** Предложенная программа расчета режимов явнополюсного синхронного двигателя с учетом режима узла питания с одной стороны дает возможность исследования электромеханических переходных процессов энергосистемы с учетом влияния режима синхронных двигателей, с другой—позволяет произвести анализ математической модели синхронного двигателя и оценку принимаемых допущений. Примеры расчета режима синхронного двигателя на ЭЦВМ по разработанной программе показали необходимость учета явнополюсности в случаях широкого изменения параметров режима питающего узла и загрузки двигателя. Показано (см. рис. 4), что в ряде режимов погрешность от неучета явнополюсности доходит до 10% (например, кривые 2 при  $U = f = I_h = 1$  и  $\beta = 1,1$ ).

Распространенное в литературе [2] мнение, что такая погрешность не превышает 1–3%, объясняется тем, что в [2] рассматриваются некоторые дискретные значения переменных параметров режима ( $f = I_h = 1$ ;  $\beta = 0,5$ ;  $\beta = 0,75$  и  $\beta = 1$ ), при которых, действительно, погрешность не превышает 1–3% (см. рис. 4). Применение же ЭЦВМ позволяет вести расчет по более полным расчетным выражениям и рассматривать весь диапазон возможных изменений параметров.

АрмНИИЭ

Получено 3.X.1969.

Գ. Ս. ՇԱՐԳՊԵՏՅԱՆ, Գ. Ա. ԿԱԼՁԱԶՅԱՆ

ԱՎՆՁԱՅՏ ԲԻՎԵՆՆԵՐՈՎ ՍՐԽԵՐՈՆ ՇԱՐՔԻՉԻ ԱՇԽԱՏԱՆՔԻ ԹԵԽՆԻԿԻ  
ՀԱՆՐԱՊԵՏՈՒԹՅԱՆ ԷԹՇՄ-Ի ՎԵՐԱ

Ա մ փ ո փ ո լ մ

Հողվածում տրված են ալգորիթմ և ձրաղիր, որոնք թույլ են տալիս որոշիլ սինխրոն շարժիչի ուժիմի պարամետրները (հաշվի առած կամ չառած ահնճատուիլունը) կներգոհամակարգում նանդուլցների լարման և հանախուսիլան զգալի փոփոխման զեպրում: Ակտորիթմը նախատեսում է նաև զրգոման կարգավորման տարրեր օրենքների իրապորման ննարավորուիլուն: Որաղիրը, որը կազմված է «Որալ-Յ» էԹՇՄ-ի համտը, նանդիտանում է կներգոհամակարգում զգրուիլան մեծ զեֆիցիտի հետ կապված սնժիմների ուտումնապրման ընդհանուր ձրաղրի րաղաղրիչ մաար:

Բերված է հաշվման ձրաղրի բոկ-սխեման: Տրված են սինխրոն շարժիչի բնոիազերը՝ ահնճատուիլան հաշվաորով և տանը գրա:

## Л И Т Е Р А Т У Р А

1. Сыромятников И. А. Режимы работы асинхронных и синхронных электродвигателей. Госэнергоиздат, 1963.
2. Литвиц Д. В. Влияние снижения напряжения на реактивную мощность синхронных двигателей при нормальном возбуждении. Сборник статей под редакцией Сыромятникова И. А. Госэнергоиздат, 1959.
3. Лайбль Т. Теория синхронной машины при переходных процессах. Госэнергоиздат, 1957.

Г. Г. ГИМОЯН, Ш. А. АРОЯН

СРАВНИТЕЛЬНЫЙ АНАЛИЗ ФИЛЬТРОВ ТОКА И НАПРЯЖЕНИЯ ОБРАТНОЙ ПОСЛЕДОВАТЕЛЬНОСТИ В СХЕМАХ МАКСИМАЛЬНОЙ ЗАЩИТЫ

Известно, что схемы защит от коротких замыканий и ненормальных режимов с применением фильтров симметричных составляющих реагируют не только на количественные, но и на качественные изменения электрических параметров защищаемой установки. Поэтому при применении их в сетях с малыми кратностями токов короткого замыкания (горные, сельскохозяйственные, лесотехнические и др.), защита получается со значительно лучшими параметрами по чувствительности и селективности, чем при устройствах, использующих полные токи.

Если учесть, что при любом несимметричном повреждении в трехфазной сети возникают как токи, так и напряжения обратной последовательности, казалось бы, нет особой разницы при выполнении вышеуказанных защит использовать фильтры тока или напряжения. Однако, это не так. В подтверждение сказанного на рис. 1 приведены

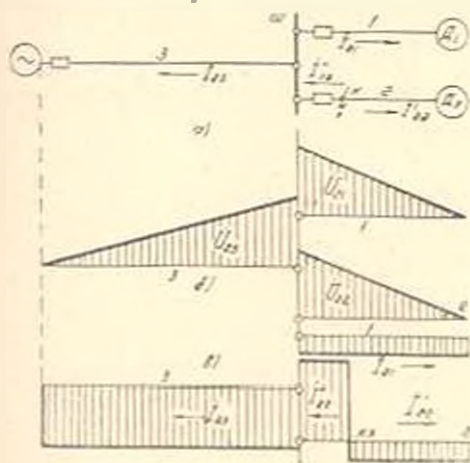


Рис. 1 Двухфазное короткое замыкание в простейшей сети: а — схема сети; б — распределение напряжений обратной последовательности; в — распределение токов обратной последовательности

потенциальные диаграммы распределения напряжений и токов обратной последовательности вдоль простейшей сети при двухфазном коротком замыкании в точке К. Здесь  $A_1$  и  $A_2$  — двигатели,  $Z$  — питающая

линия. Если для простоты допустить, что мощность источника питания несоизмеримо велика по сравнению с мощностями двигателей, то напряжения обратной последовательности  $U_{21}$ ,  $U_{22}$  и  $U_{23}$ , соответствующие ветвям двигателей  $A_1$  и  $A_2$  и линии, распределятся так, как показано на рис. 1, б. Они максимальны в месте короткого замыкания и, постепенно снижаясь, равны нулю в конце приемника. Поэтому, если короткое замыкание произойдет вблизи шин  $Ш$ , напряжения  $U_{21}$ ,  $U_{22}$  и  $U_{23}$  будут равны друг другу и равны напряжению обратной последовательности в месте короткого замыкания, вследствие чего защита с использованием фильтров напряжения будет лишена селективности.

Совершенно иначе распределяются при этом же повреждении токи обратной последовательности. Ввиду того, что они генерируются в точке короткого замыкания, а затем растекаются по всей сети, диаграмма их распределения будет иметь вид, представленный рис. 1, в. На последнем за положительное принято направление токов, притекающих к шинам. Поэтому токи  $I_{21}$ ,  $I_{22}$ ,  $I_{23}$  отложены ниже оси ветвей 1, 2, 3, а ток  $I_{20}$ , являющийся током через выключатель поврежденного двигателя, — выше этой оси. Величина его равна:

$$I_{20} = I_{21} + I_{22} \quad (1)$$

Благодаря условию  $I_{20} \gg I_{21}$  защиту с использованием фильтров тока легко отстроить от коротких замыканий вне зоны действия и добиться надежного действия ее при повреждениях в зоне.

Аналогичное о вышеназванных защитах можно сказать при ненормальных режимах, сопровождающихся искажением токов и напряжений в сети. Так, на рис. 2 приведены распределения напряжения и тока обратной

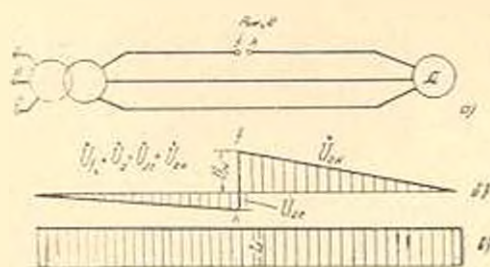


Рис. 2. Работа двигателя в неополнофазном режиме: а — схема сети; б — распределение напряжений обратной последовательности; в — распределение токов обратной последовательности

последовательности при обрыве фазы. Здесь, как и в предыдущем случае, напряжение обратной последовательности  $U_2 = U_{1h}$  (рис. 2, б) максимально в месте повреждения. Составляющие его  $U_{21}$  и  $U_{2r}$  — напряжения обратной последовательности ветвей нагрузки и сети в месте

повреждения — прямо пропорциональны их сопротивлениям обратной последовательности:

$$U_{2r} = I_0 Z_{2r}; \quad U_{2n} = I_0 Z_{2n}, \quad (2)$$

где  $I_0$  — ток обратной последовательности при обрыве фазы;  $Z_{2r}$  и  $Z_{2n}$  — сопротивления обратной последовательности ветвей сети и двигателя.

Ввиду непостоянства отношения  $Z_{2r}/Z_{2n}$  (зависящего от таких факторов, как мощности питающих трансформаторов и сопротивления линии, количество одновременно работающих двигателей, мощность и скольжение поврежденного двигателя)  $U_{2n}$  и  $U_{2r}$  также будут непостоянны. При мощной сети, когда  $Z_{2r} \ll Z_{2n}$ , напряжение  $U_{2r}$  вообще будет равно нулю. Ток же обратной последовательности, как видно из диаграммы рис. 2, в, по всей линии одинаков и меньше подвержен изменениям.

Коэффициенты асимметрии по напряжению  $\varepsilon_n$  и току  $\varepsilon_r$  двигателя будут равны:

$$\varepsilon_n = \frac{U_{2n}}{U_{1n}}; \quad \varepsilon_r = \frac{I_{2r}}{I_{1n}}, \quad (3)$$

где  $U_{1n}$  и  $I_{1n}$  — действующие значения напряжения и тока прямой последовательности двигателя;

$U_{2n}$  и  $I_{2r}$  — действующие значения напряжения и тока обратной последовательности двигателя.

Зависимости этих коэффициентов от скольжения и мощности двигателя имеют характер кривых рис. 3. Из них видно, что величина  $\varepsilon_n$  сильно

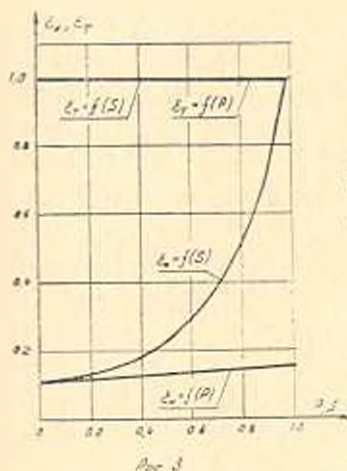


Рис. 3. Зависимости коэффициентов асимметрии  $\varepsilon_r$  и  $\varepsilon_n$  от скольжения и мощности двигателя

зависит как от скольжения, так и от отдаваемой мощности двигателя и колеблется в больших пределах. Величина же  $\varepsilon_r$  не зависит от этих

факторов и всегда равна единице. Поэтому защита с применением фильтра напряжения будет нести себя совершенно неопределенно: может ложно отключить неповрежденный двигатель  $A_1$ , как и случае двухфазного короткого замыкания, разобранном выше, или же отказать в действии при обрыве фазы, если он произошел между местом установки защиты и двигателем. И, наоборот, защиту с использованием фильтров тока легко можно отстроить от коротких замыканий вне зоны действия и эксплуатационных асимметрий сети, а постоянство  $\varepsilon_1$ , независимо от скольжения и нагрузки, обеспечит ее надежное действие при обрывах фазы и других режимах, сопровождающихся малыми токами повреждения.

Использование фильтров тока дает возможность выполнять защиту с зависимой амперсекундной характеристикой, способствующей созданию селективности. Например, на рис. 4, а приведена зависимость

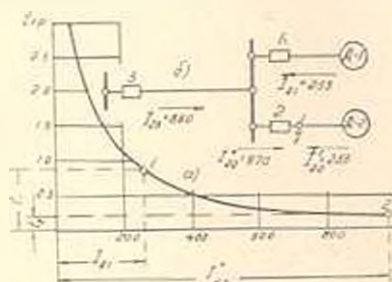


Рис. 4. Обеспечение селективности фильтровой токовой защиты: а — амперсекундная характеристика защиты; б — схема сети

времени срабатывания ( $t_{21}$ ) реле от величины тока обратной последовательности аппарата типа АЗЭД [1]. Такая характеристика позволяет практически мгновенно отключать двигатель при повреждениях, сопровождающихся опасными для него токами, и, наоборот, не допускает ложных отключений двигателя при внешних коротких замыканиях. Указанное рассмотрим на примере схемы рис. 4, б. Здесь нагрузка состоит из двух идентичных двигателей  $A_1$  и  $A_2$ , защищаемых фильтровой токовой защитой. Допустим, данные сети и нагрузки таковы, что при двухфазном коротком замыкании в ветви двигателя  $A_2$  токи обратной последовательности соответствующих ветвей равны [1]:  $I_{21} = 253$  а,  $I_{22} = 253$  а,  $I_{23} = 970$  а,  $I_{24} = 860$  а. Из рис. 4, а нетрудно заметить, что поврежденный двигатель  $A_2$  отключится с выдержкой времени  $t_2 = 0,2$  сек, а двигатель  $A_1$  не успеет отключиться, т. к. выдержка времени его защиты составит  $t_1 = 0,8$  сек. Таким образом, будет обеспечена селективность действия защиты.

Большим преимуществом фильтровых защит тока является также нетребовательность их к тщательной настройке, т. к. вследствие резкого и скачкообразного изменения  $I_2$  в нормальном и аварийном режимах всегда обеспечивается надежное срабатывание схемы фильтр-реле.

Рассмотрим, какова чувствительность фильтровых токовых защит по сравнению с защитами, использующими полные токи (простые максимальные защиты). При прочих равных условиях (мощность защищаемой электроустановки, схема коммутации сети и т. д.) чувствительность фильтровых защит зависит от следующих факторов [1]: вида имперсекундной характеристики исполнительного органа (мгновенного действия, зависимая характеристика, ограниченно-зависимая с отсечкой), типа примененного фильтра (простой, двойной, комбинированный), способа питания исполнительного органа.

Если предположить, что обе защиты выполнены мгновенного действия, то коэффициент чувствительности защиты, использующей простой фильтр, будет:

$$K_{ч(ф)} = \frac{I_{2(ф)}}{K_n I_{2(фн)}} \quad (4)$$

где  $K_{ч(ф)}$  — коэффициент чувствительности фильтровой защиты;

$I_{2(ф)}$  — минимальный ток обратной последовательности через защиту при двухфазном коротком замыкании в зоне действия ее (ток  $I_{2(ф)}$ , рис. 1, в);

$I_{2(фн)}$  — максимальный ток обратной последовательности при двухфазном коротком замыкании вне зоны действия защиты (ток  $I_{2(фн)}$ , рис. 1, в);

$K_n$  — коэффициент надежности уставки.

Учитывая, что минимальная величина тока  $I_{2(ф)}$  будет иметь место при отключенном двигателе  $\mathcal{D}_1$  и повреждении в конце линии, питающей защищаемый двигатель, получим:

$$I_{2(ф)} = \frac{I_{2(фн)}^{(3)}}{\sqrt{3}} = \frac{I_{2(фн)}^{(3)}}{2} = \frac{E}{2Z_0} \quad (5)$$

где  $I_{2(фн)}^{(3)}$  и  $I_{2(фн)}^{(2)}$  — полные токи при двух- и трехфазных коротких замыканиях в конце линии, питающей защищаемый двигатель;

$E$  — фазная э. д. с. сети;

$Z_0$  — сопротивление линии с учетом сопротивления сети.

Максимальная величина тока  $I_{2(фн)}$  будет иметь место при повреждении в шинах Ш и равна половине пускового тока защищаемого двигателя

$$I_{2(фн)} = \frac{E}{2(Z_0 + Z_1)} \quad (6)$$

где  $Z_1$  — пусковое комплексное сопротивление защищаемого двигателя.

На основании (5) и (6) взамен (4) получим:

$$K_{ч(ф)} = \frac{Z_0 + Z_1}{K_n Z_0} \quad (7)$$

Аналогично для максимальной защиты, использующей полные токи, получим:

$$K_{q(m)} = \frac{I_{\text{н}}}{K_{\text{н}} I_{\text{нн}}} = \frac{\sqrt{3}}{2} \cdot \frac{Z_{\text{н}}}{K_{\text{н}} Z_{\text{н}}}, \quad (8)$$

где  $I_{\text{н}}$  — номинальный пусковой ток двигателя.

Отношение коэффициентов чувствительности обеих защит будет:

$$C_{\text{ч}} = \frac{K_{\text{ч}(ф)}}{K_{\text{ч}(т)}} = \frac{2}{\sqrt{3}} \left( 1 + \frac{Z_{\text{н}}}{Z_{\text{н}}} \right). \quad (9)$$

Если учесть, что для маломощных сильнонагруженных сетей отношение  $Z_{\text{н}}/Z_{\text{н}}$  равно  $0,5 - 0,6$ , а для общепромышленных мощных сетей стремится к нулю, то из последнего уравнения получим граничные значения:  $1,15 < C_{\text{ч}} < 1,8$ .

**Выводы.** В маломощных сильнонагруженных сетях с малыми кратностями токов короткого замыкания (горные, сельскохозяйственные, лесотехнические и др.) необходимо применять защиты, работающие на фильтровом принципе. При осуществлении фильтровых защит от токов коротких замыканий и ненормальных режимов предпочтение следует давать фильтрам тока. Чувствительность фильтровых защит по сравнению с простыми максимальными защитами выше в  $1,15 - 1,8$  раз.

Ереванский политехнический институт  
им. К. Маркса

Поступило 16.III.1970.

Գ. Գ. ԳԻՄՈՅԱՆ, Շ. Ա. ԱՐՅԱՆ

ՀՈՍԱՆՔԻ ԵՎ ԼԱՐՄԱՆ ՀԱՆՏԱՐԱՐԳ ՀԱՋՈՐԴԱԿԱՆՈՒԹՅԱՆ ՑԻՆՏՐԵՆԻՐԻ  
ՀԱՄԵՄԱՏԱԿԱՆ ԱՆԱՐԳ ՄԱՔՍԻՄԱԼ ՊԱՇՏՊԱՆՈՒԹՅԱՆ ՍԽԵՄԱՆԵՐՈՒՄ

Ա մ փ ո փ ո լ մ

Կատարված է հոսանքների և լարումների հսկադարձ հաչորդականության սկզբունքի վրա կառուցված կարճ միացումներից և աննորմալ սեծիմներից ֆիլտրային պաշտպանությունների համեմատում: Ապացուցվում է, որ հոսանքի ֆիլտրերի օգտագործումը ունի անփիճելի առավելություն համեմատած լարման ֆիլտրերի հետ: Հոսանքային ֆիլտրային պաշտպանությունները հեշտ է կարգավորել պաշտպանության գոտուց դուրս կարճ միացումներից և հեշտ է սպահավել նրա հոսույի զործողությունը գոտու ներսում վնասվածքների զեպրում: Ցույց է տրվում, որ հոսանքային ֆիլտրային պաշտպանությունների զգայնությունը պարզ մաքսիմալ հոսանքային պաշտպանությունների զգայնության համեմատությամբ բարձր է  $1,15 - 1,8$  անգամ:

#### Л И Т Е Р А Т У Р А

1. Гимоян Г. Г., Аюбов Р. М. Релейная защита подземного горного электрооборудования и сетей. Изд. «Недра», М., 1970.

*Температура возникающая при шлифовании прерывистым кругом.* Касьян М. В., Сипайлов В. А., Амбарян Р. С. «Известия АН Арм. ССР (серия Т.Н.)», т. XXIV, № 1, 1971, 3—8.

Рассматривается нестационарный режим работы круга и возникающее при этом температурное поле на его боковой части. Показано, что при прерывистом шлифовании температура в зоне контакта круга с деталью на 30—50% ниже по сравнению со сплошным шлифованием. Сделан вывод, что прерывистое шлифование дает значительное улучшение качества поверхностного слоя за счет понижения температуры. Предложен вариант прерывистого круга, позволяющего сэкономить абразивный материал.

Илл. 3. Библ. 3 назв.

УДК 621.01+621.396.61

*Уравнения установившегося режима линии с распределенными параметрами.* Адоци Г. Т. «Известия АН Арм. ССР (серия Т.Н.)», т. XXIV, № 1, 1971, 9—15.

Выявлены уравнения установившегося режима линии с распределенными параметрами в форме, соответствующей условиям расчета установившегося режимом электроэнергетических систем, содержащих данные линии. Установившийся режим находится путем последовательного решения двух задач. Решением первой задачи определяются параметры режима в начале и конце линии, второй задачи — в произвольной точке линии.

Библ. 3 назв.

УДК 693.9:534

*О периодах нелинейных колебаний каркасных зданий.* Амбарцумян Вл. А. «Известия АН Арм. ССР (серия Т.Н.)», т. XXIV, № 1, 1971, 16—22.

Исследуются периоды колебаний каркасных зданий с недеформируемыми ригелями при нелинейной зависимости между восстанавливающей силой и перемещением. Получена формула для определения периодов нелинейных колебаний в зависимости от угла наклона и степени нелинейности.

Табл. 2. Библ. 5 назв.

УДК 62—501.72

*Применение АВМ для решения инверсной задачи точности сложных моделирующих устройств.* Матевосян П. А. «Известия АН Арм. ССР (серия Т.Н.)», т. XXIV, № 1, 1971, 23—29.

Предлагается методика решения инверсной задачи точности сложных моделирующих устройств при условии установления ограничений параметров решающих блоков, исходя из требования минимума затрат на изготовление сложного устройства. Для решения рассматриваемой задачи предлагается использование АВМ с обратными решающими блоками.

Илл. 2. Библ. 6 назв.

УДК 621.385+621.372.852.5

*Исследование концентрационной погрешности капиллярных ртутно-электролитических преобразователей с фотоэлектрическим считыванием.* Казарян Э. В., Шорягин А. П. «Известия АН Арм. ССР (серия Т.Н.)», т. XXIV, № 1, 1971, 30—35.

Исследованы факторы, определяющие «концентрационную» погрешность преобразователей, обусловленную изменением распределения концентраций компонентов электролита в капилляре при протекании тока управления. Приведены экспериментальные характеристики указанных погрешностей, исследован метод уменьшения концентрационной погрешности путем наложения на постоянный управляющий ток переменного тока высокой частоты, позволяющего существенно повысить метрологические характеристики преобразователей.

Илл. 4. Библ. 6 назв.

УДК 621.3.011.1

*Погрешности L—C измерительных цепей.* Гукасян А. Г., Карапетян М. А., Симонян В. С. «Известия АН Арм ССР (серия Т. Н.)», т. XXIV, № 1, 1971, 36—41.

Изложены результаты количественного анализа методических погрешностей L—C измерительных цепей, вызванных пренебрежением потерь энергии и образцовой катушке и нестабильностью частоты генератора.

Табл. 2. Илл. 1. Библ. 3 назв.

УДК 621.3.612.9

*Тензор напряжений, обусловленный магнитным или электрическим полем в неоднородной среде с произвольными нелинейными характеристиками.* Авакьян А. М. «Известия АН Арм. ССР (серия Т.Н.)», т. XXIV, № 1, 1971, 42—49.

В присутствии магнитного или электрического поля в телах возникают пьезороторные силы, которые могут быть выражены посредством тензора напряжений в том случае, когда магнитные или электрические характеристики этих тел лишены, т. е. когда величина их магнитной или электрической проницаемости не зависит от интенсивности поля. В работе показано, что это возможно и в случае произвольной нелинейности характеристик тел. Для заданного общего случая получено выражение тензора напряжений, из которого, как частный случай, вытекает его известная форма.

Илл. 3. Библ. 1 назв.

УДК 621.313.323:681.3

*Расчет на ЭЦВМ режима работы явноволнового синхронного двигателя при значительных колебаниях напряжения и частоты в энергосистеме.* Абрапетян Г. А., Налчаджян Г. А. «Известия АН Арм ССР (серия Т.Н.)», т. XXIV, № 1, 1971, 50—56.

Рассматриваются алгоритм и программа, позволяющие определить параметры режима синхронного двигателя (с учетом и без учета явноволновости) при значительных колебаниях напряжения узлов и частоты в энергосистеме. Алгоритм предусматривает также задания различных законов регулирования возбуждения. Программа составлена применительно к ЭЦВМ «Урал-3».

Илл. 4. Библ. 3 назв.

УДК 621.3.023+621.316.9

*Сравнительный анализ фильтров тока и напряжения обратной последовательности в схемах максимальной защиты.* Гимоян Г. Г., Ароян Ш. А. «Известия АН Арм ССР (серия Т.Н.)», т. XXIV, № 1, 1971, 57—62.

Проводится сравнение фильтровых защит от коротких замыканий в ненормальных режимах, построенных на принципе токов и напряжений обратной последовательности. Доказывается, что использование фильтров тока имеет неоспоримое преимущество по сравнению с фильтрами напряжения. Фильтровые токовые защиты легко отстроить от коротких замыканий вне зоны действия и добиться надежного действия ее при повреждениях в зоне.

Показывается, что чувствительность фильтровых токовых защит по сравнению с простыми максимальными защитами выше в 1,15—1,8 раз.

Илл. 4. Библ. 1.



Յ Ո Վ Ա Ն Գ Ա Կ Ո Ւ Թ Յ Ո Ւ Ն

ՈՒՐՆԱՆՆԵՐԻ ՈՒՌՅՈՒՆ

Ա. Վ. Գառլան, Վ. Ա. Սիլայլյալ. Ռ. Ս. Համբարյան, Ընդհատուե սկսվածուսկով հղկելիս  
առաջագոգ ջերմաստիճանը . . . . . 3

ԷՆԵՐՅԵՏԻԿԱ

Հ. Տ. Ազոնց, Բաշխմած պարսմեարհներով գծի կայունացած ուժիմի հավասարումները . . . . . 9

ՇԻՆԱՐԱՐԱՆՈՆ, ՄԵՆԱՆԵԿԱ

Վ. Ա. Համբարձումյան, Կարկասային շենքերի ոչ-դժային տատանումների պարբերու-  
թյունների վերաբերյալ . . . . . 16

ՀԱՇՎՈՂԱԿԱՆ ՏԵՆՆԻԿԱ

Գ. Ա. Մաքսիմյան, Անայոզային հաշվիչ մեքենաների օդադարձումը բարդ սողելացիոզ  
սարքերի ճշտության ինվերսաչին խնդրի լուծման համար . . . . . 23

Է. Վ. Կազարյան, Ա. Պ. Շորիզին, Յուսուլիկարայան հաշվմամբ սեղիկա-լինկորոլիտային  
կապիլյար կերպափոխիչների կոնցենտրացիոն սխալանքների ուսումնասիրություն . . . . . 30

ՉՈՒՐՆԱՆՆԵՐԻ ՏԵՆՆԻԿԱ

Հ. Գ. Լուկասյան, Մ. Ա. Կաբաջիտյան, Վ. Ս. Սիմոնյան, Լ.—Շ յոփիչ շղթաների սխա-  
լանքները . . . . . 36

ԷԼԵԿՏՐԱՏԵՆՆԻԿԱ

Ա. Ս. Առախլյան, Կամայական ոչ-դժային ընտրագրեր ունեցող անհամասեռ միջավայ-  
րում մագնիսական կամ էլեկտրական դաշտով պայմանավորված լարումների սեն-  
զորը . . . . . 42

Գ. Ա. Հայրապետյան, Գ. Ա. Նալչալյան, Ակնհայտ րենտներով սինխրոն շարժիչի աշխա-  
տանքի ուժիմի հաշվարկը էԹՀՄ-ի վրա . . . . . 50

Գ. Գ. Կիմոյան, Շ. Ա. Արտյան, Հոսանքի և լարման հակադարձ հաշտողականության ֆի-  
զրանքի համեմատական անալիզ մարսիմալ պաշտպանության սխեմաներում . . . . . 57

## СОДЕРЖАНИЕ

### МАШИНОСТРОЕНИЕ

- М. В. Касьян, В. А. Силайлов, Р. С. Амбарян. Температура, возникающая при шлифовании прерывистым кругом

### ЭНЕРГЕТИКА

- Л. Т. Аооц. Уравнения установившегося режима линии с распределенными параметрами

### СТРОИТЕЛЬНАЯ МЕХАНИКА

- В. А. Амбарцумян. О периодах свободных нелинейных колебаний каркасных зданий

### ВЫЧИСЛИТЕЛЬНАЯ ТЕХНИКА

- П. А. Матвеев. Применение АВМ для решения инверсной задачи точности сложных моделирующих устройств  
Э. В. Казарян, А. П. Шорыгин. Исследование концентрационной погрешности цилиндрических ртутно-электролитических преобразователей с фотоэлектрическим считыванием

### ИЗМЕРИТЕЛЬНАЯ ТЕХНИКА

- М. Г. Гукасян, М. А. Карапетян, В. С. Силонян. Погрешности L-C измерительных цепей

### ЭЛЕКТРОТЕХНИКА

- А. М. Арокелян. Тензор напряжений, обусловленный магнитным или электрическим полем в неоднородной среде с произвольными нелинейными характеристиками  
Г. А. Айрапетян, Г. А. Налмижян. Расчет на ЭЦМ режима работы явнополюсного синхронного двигателя при значительных колебаниях напряжения и частоты в энергосистеме  
Л. Г. Гамоян, Ш. А. Ароян. Сравнительный анализ фильтров тока и напряжения обратной последовательности в схемах максимальной защиты